



**UNIVERSITAS INDONESIA**

**RANCANG BANGUN SIMULASI ENKRIPSI PADA  
KOMUNIKASI GSM**

**SKRIPSI**

**PERMADI HUDOYO JUNRAMDLAN  
06 06 04 285 3**

**FAKULTAS TEKNIK  
PROGRAM STUDI TEKNIK ELEKTRO  
DEPOK  
DESEMBER 2008**



**UNIVERSITAS INDONESIA**

**RANCANG BANGUN SIMULASI ENKRIPSI PADA  
KOMUNIKASI GSM**

**SKRIPSI**

**Diajukan sebagai salah satu syarat untuk memperoleh gelar sarjana**

**PERMADI HUDOYO JUNRAMDLAN  
06 06 04 285 3**

**FAKULTAS TEKNIK  
PROGRAM STUDI TEKNIK ELEKTRO  
DEPOK  
DESEMBER 2008**

## HALAMAN PERNYATAAN ORISINALITAS

**Skripsi ini adalah hasil karya saya sendiri,  
dan semua sumber baik yang dikutip maupun dirujuk  
telah saya nyatakan dengan benar.**

**Nama : Permadi H Junramdlan**

**NPM : 06 06 04 285 3**

**Tanda Tangan : .....**

**Tanggal : 22 Desember 2008**

## HALAMAN PENGESAHAN

Tugas akhir ini diajukan oleh :

Nama : Permadi Hudoyo Junramdhan

NPM : 06 06 04 285 3

Program Studi : Teknik Elektro

Judul Tugas akhir : **RANCANG BANGUN SIMULASI  
ENKRIPSI PADA KOMUNIKASI GSM**

**Telah berhasil dipertahankan di hadapan Dewan Penguji dan diterima sebagai bagian persyaratan yang diperlukan untuk memperoleh gelar Sarjana Teknik pada Program Studi Teknik Elektro Fakultas Teknik, Universitas Indonesia**

### DEWAN PENGUJI

Pembimbing : Dr. Ir. Arman Djohan Diponegoro, M. Eng ( ..... )

Penguji : Fitri Yuli Zulkifli, ST, M.Sc (.....)

Penguji : Dr.Ir. Agus Santoso Tamsir, MT ( ..... )

Ditetapkan di : Universitas Indonesia Depok

Tanggal : 22 Desember 2008

## UCAPAN TERIMA KASIH

Puji syukur penulis panjatkan kepada Allah Yang Maha Esa, karena atas kasih sayang dan rahmat-Nya, penulis dapat menyelesaikan tugas akhir ini. Penulisan tugas akhir ini dilakukan dalam rangka memenuhi salah satu syarat untuk mencapai gelar Sarjana Teknik Jurusan Teknik Elektro pada Fakultas Teknik Universitas Indonesia. Dalam pembuatan tugas akhir ini, bukanlah semata-mata karena usaha dan kerja individu penulis sendiri, tetapi mendapatkan banyak bantuan dari berbagai pihak, untuk itu penulis menyampaikan terima kasih kepada:

- (1) Allah SWT, Yang Maha Kuasa atas seluruh kehidupan.
- (2) Bapak Dr. Ir. Arman Djohan Diponegoro, M.Eng, selaku dosen pembimbing yang telah bersedia meluangkan waktu untuk memberi pengarahan, diskusi, dan bimbingan serta persetujuan sehingga tugas akhir ini dapat selesai dengan baik.
- (3) Ibu Dr. Fitri Yuli Zulkifli, ST, M.Sc dan Bapak Dr.Ir. Agus Santoso Tamsir, MT.
- (4) Teman –teman yang tanpa mengurangi rasa hormat, untuk tidak disebutkan.

Akhir kata, saya berharap Allah Yang Maha Esa berkenan membalas segala kebaikan semua pihak yang telah membantu. Semoga tugas akhir ini bermanfaat bagi pengembangan ilmu.

Depok, 22 Desember 2008

Penulis

**HALAMAN PERNYATAAN PERSETUJUAN PUBLIKASI  
TUGAS AKHIR UNTUK KEPENTINGAN AKADEMIS**

---

---

Sebagai sivitas akademik Universitas Indonesia, saya yang bertanda tangan di bawah ini:

Nama : Permadi Hudoyo Junramdian  
NPM : 06 06 04 285 3  
Program Studi : Teknik Elektro  
Departemen : Teknik Elektro  
Fakultas : Teknik  
Jenis Karya : Tugas akhir

demi pengembangan ilmu pengetahuan, menyetujui untuk memberikan kepada Universitas Indonesia **Hak Bebas Royalti Noneksklusif (*Non-exclusive Royalty-Free Right*)** atas karya ilmiah saya yang berjudul :

**RANCANG BANGUN SIMULASI  
ENKRIPSI PADA KOMUNIKASI GSM**

beserta perangkat yang ada (jika diperlukan). Dengan Hak Bebas Royalti Noneksklusif ini Universitas Indonesia berhak menyimpan, mengalih-media/formatkan, mengelola dalam bentuk pangkalan data (*database*), merawat, dan mempublikasikan tugas akhir saya tanpa meminta izin dari saya selama tetap mencantumkan nama saya sebagai penulis/pencipta dan sebagai pemilik Hak Cipta.

Demikian pernyataan ini saya buat dengan sebenarnya.

Dibuat di : Depok  
Pada tanggal : 22 Desember 2008

Yang Menyatakan,

(Permadi Hudoyo Junramdian)

## ABSTRAK

Nama : Permadi Hudoyo Junramdhan  
Program Studi : Teknik Elektro  
Judul : **RANCANG BANGUN SIMULASI  
ENKRIPSI PADA KOMUNIKASI GSM**

Simulasi ini diawali dengan melakukan pembangkitan *ciphering key* sebagai syarat untuk melakukan enkripsi data informasi. Untuk pembangkitan *ciphering key* pada komunikasi GSM, digunakanlah algoritma A8 yang akan melakukan seluruh komputasi data Ki dan RAND yang dibutuhkan. Setelah itu, *ciphering key* yang telah diperoleh akan diproses oleh algoritma A5 dengan tujuan mengacak informasi.

### **Kata Kunci :**

**Algoritma A8, Algoritma A5, *ciphering key*, enkripsi, dekripsi, Ki, dan RAND.**

## ABSTRACT

*Name : Permadi Hudoyo Junramdhan  
Study Program : Electrical Engineering  
Title : **Design and Construction of Encryption Simulation on GSM  
Communication.***

*This simulation start of to generated of ciphering key for data encryption. To generated this key base on GSM communication, used the A8 algorithm and to get data encryption used of A5 algorithm.*

### **Key words:**

**Algorithm of A8, Chipering Key, Kc, Ki, dan RAND.**

## DAFTAR ISI

JUDUL .....	i
HALAMAN PERNYATAAN ORISINALITAS .....	ii
HALAMAN PENGESAHAN .....	iii
KATA PENGANTAR .....	iv
HALAMAN PERSETUJUAN PUBLIKASI KARYA ILMIAH .....	vi
ABSTRAK .....	vii
ABSTRACT .....	viii
DAFTAR ISI .....	ix
DAFTAR GAMBAR .....	xi
DAFTAR TABEL .....	xii
DAFTAR LAMPIRAN .....	xiii
DAFTAR SINGKATAN .....	xiv
<b>1. PENDAHULUAN.....</b>	<b>1</b>
1.1 Latar Belakang .....	1
1.2 Perumusan Masalah .....	2
1.3 Tujuan .....	2
1.4 Batasan Masalah .....	2
1.5 Metodologi .....	2
1.6 Sistematika Pembahasan .....	3
<b>2. TINJAUAN PUSTAKA</b>	
2.1 MIKROKONTROLLER ATMEL AT89S52 .....	4
2.1.1 Konfigurasi Pin AT89S52.....	5
2.1.2 Arsitektur Mikrokontroler.....	8
2.1.3 Organisasi Memory.....	9
2.2 DT-51 MINIMUM SYSTEM .....	13
2.2.1 Peta Memori DT-51 .....	13
2.2.2 PPI 82C55 (Programmable Peripheral Interface) .....	14
2.3 GLOBAL SYSTEM for COMMUNICATION .....	16
2.3.1 MS.....	18
2.3.2 ME.....	18
2.3.3 Arsitektur Jaringan GSM .....	19
2.3.4 Stasiun Bergerak .....	20
2.3.5 Subscriber Base Station .....	21
2.3.6 Subsistem Jaringan .....	21
2.3.7 Subscriber Identity Module .....	22
2.3.8 Home Location Register .....	22
2.3.9 Visitor Location Register .....	23
2.3.10 AuC.....	23
2.3.11 Konfidensial Identitas Pengguna .....	23
2.4 PENGAMANAN UNTUK GSM .....	24
2.5 KRIPTOGRAFI .....	25
2.5.1 Enkripsi .....	29



2.5.2 Dekripsi.....	30
2.6 Konfigurasi PIN <i>Simcard</i> .....	31
<b>3. RANCANG BANGUN SISTEM.....</b>	<b>33</b>
3.1 RANCANG BANGUN SOFTWARE .....	33
3.1.1 Diagram Alir .....	33
3.1.2 Diagram Blok.....	35
3.1.3 Algoritma .....	38
3.1.4 Prosedural Program.....	41
3.1.4.1.PIN .....	41
3.1.4.2 Algoritma A8 .....	41
3.1.4.3 Algoritma A5 .....	43
3.2 PERANCANGAN HARDWARE .....	43
3.2.1 Rangkaian Catu Daya .....	43
3.2.2 Minimum Sistem DT-51 .....	44
3.2.3 Perangkat Input Simulasi .....	45
3.2.3.1 Keypad .....	46
3.2.3.2 Perangkat output Simulasi .....	47
3.2.3.2.1 <i>LCD</i> .....	47
<b>4. UJI COBA SIMULASI DAN ANALISIS .....</b>	<b>49</b>
4.1 PROSEDUR SIMULASI.....	49
4.2 HASIL UJI COBA SIMULASI DAN ANALISIS .....	50
4.2.1 Karakteristik Unjuk Kerja Algoritma A8 dan Analisis.....	50
<b>BAB V PENUTUP.....</b>	<b>63</b>
5.1 KESIMPULAN.....	63
<b>DAFTAR ACUAN.....</b>	<b>64</b>
<b>DAFTAR PUSTAKA .....</b>	<b>65</b>
<b>LAMPIRAN.....</b>	<b>66</b>

## DAFTAR GAMBAR

Gambar 2.1	Bentuk Konfigurasi pin AT89S52 .....	5
Gambar 2.2	Arsitektur AT89S52 .....	9
Gambar 2.3	Struktur memori program dan data pada AT89S52. ....	10
Gambar 2.4	Peta SFR dan nilai resetnya.....	11
Gambar 2.5	Pin-Out dari adapter antarmuka peripheral (PPI) 8255.....	15
Gambar 2.6	<i>Layout Generic</i> Jaringan GSM.....	17
Gambar 2.7	Bagian Pembentuk Mobile Station.....	18
Gambar 2.8	Arsitektur GSM.....	24
Gambar 2.9	Tipe Cipher.....	27
Gambar 2.10	Proses Enkripsi .....	29
Gambar 2.11	Blok Dekripsi .....	30
Gambar 2.12	Skema Enkripsi dalam GSM.....	31
Gambar 3.1	Diagram Alir Proses Kc dan Pengamanan Komunikasi .....	34
Gambar 3.2	Proses Keamanan Komunikasi.....	35
Gambar 3.3	Blok Urutan Pembangkitan Kc .....	36
Gambar 3.4	<i>Blok Diagram</i> Algoritma Aljabar A8.....	36
Gambar 3.5	Tahapan Level Kompresi A8 .....	37
Gambar 3.6	Proses Akhir 128 bit Hasil Kompresi.....	37
Gambar 3.7	Pengambilan bit Lsb.....	38
Gambar 3.8	Proses Pengambilan Data.....	38
Gambar 3.9	Algoritma A8 Untuk Pembangkitan Kunci Kc .....	39
Gambar 3.10	Algoritma A5 Untuk Acak Data .....	40
Gambar 3.11	Rangkaian Catu Daya .....	43
Gambar 3.12	Diagram <i>Port Control</i> .....	45
Gambar 3.13	Hubungan Keypad 4x4.....	46
Gambar 3.14	LCD.....	48

## DAFTAR TABEL

Tabel 2.1 Pemilihan Port I/O .....	17
Tabel 2.2 Memori Pada <i>SIM Card</i> .....	21
Tabel 4.1 Konversi Desimal ke Heksadesimal .....	50
Tabel 4.2 Uji Coba Ki dan RAND Berubah .....	51
Tabel 4.3 Hasil Kc (RAND dan Ki Berubah) .....	52
Tabel 4.4 Konversi Desimal ke Heksadesimal .....	54
Tabel 4.5 Data Uji Coba Untuk Ki Tetap, RAND Berubah.....	55
Tabel 4.6 Hasil Kc (Ki Tetap dan RAND Berubah) .....	56
Tabel 4.7 Konversi Heksadesimal ke Desimal .....	57
Tabel 4.8 Data Uji Coba Untuk Ki Berubah, RAND Tetap.....	58
Tabel 4.9 Hasil Kc (Ki Berubah, RAND Tetap).....	58
Tabel 4.10 Hasil Uji Coba Enkripsi dan Dekripsi.....	59

## DAFTAR LAMPIRAN

- Lampiran 1 Wiring Diagram DT-51 Minimum System
- Lampiran 2 Tabel GSM
- Lampiran 3 Datasheet

## DAFTAR SINGKATAN

LCD	<i>Liquid Crystal Display</i>
SIM	<i>Subscriber Identity Module</i>
ME	<i>Mobile Equipment</i>
BTS	<i>Base Transceiver Station</i>
BSC	<i>Base Station Controller</i>
HLR	<i>Home Location Register</i>
VLR	<i>Visitor Location Register</i>
MSC	<i>Mobile Service Switching center</i>
EIR	<i>Equipment Identity Register</i>
AuC	<i>Authentication Centre</i>

# BAB I

## PENDAHULUAN

### 1.1 Latar Belakang

Dalam era perkembangan teknologi sekarang ini, kejahatan dalam sektor telekomunikasi yang lebih terkenal dengan istilah *fraud* merupakan hal yang merugikan baik bagi *customer* maupun operator. *Fraud* tidak hanya terjadi pada sistem komunikasi tetap namun juga pada komunikasi bergerak. *Fraud* yang banyak terjadi dalam komunikasi bergerak adalah pengandaan identitas dan nomor telepon selular tertentu atau mencoba menyusup kepada jaringan telepon bergerak padahal tidak terdaftar sebagai customer pada operator telepon selular tersebut. [1]

*Fraud* merupakan hal yang serius bagi operator komunikasi bergerak. Jumlah kerugian akibat *fraud* rata-rata mencapai 500 juta dollar setiap tahun dalam industri komunikasi bergerak di Amerika, yang merupakan suatu angka yang cukup besar untuk membangun jaringan sistem komunikasi baru. Banyak kejadian *fraud* pada komunikasi telepon gengam seperti pada kasus di Arizona dimana seorang melakukan 57 ribu kali panggilan interlokal maupun internasional selama 19 hari dengan menggunakan identitas palsu sehingga operator menderita kerugian sebesar sekitar 1 juta dollar. Akhirnya dapat ditangkap melalui kerjasama antara operator dan polisi setempat berikut sekitar 10 ribu *microchip* palsu termasuk komputer dan software yang dipergunakan untuk memprogram kembali chip pada telepon gengam lain. Cara yang dapat dilakukan untuk mencegah dan mendeteksi *fraud* diantaranya adalah dengan melakukan *encryption*.

## 1. 2 Perumusan Masalah

Adapun perumusan masalah pada sistem yang akan dibuat ini adalah bagaimana proses pembangkitan Kc (*chipering key*) dengan komputasi data menggunakan algoritma A8.

## 1. 3 Tujuan

Tujuan dari tugas akhir ini adalah mensimulasikan proses pembangkit Kc (*chipering key*) menggunakan algoritma A8 melalui mikrokontroler dan diuji coba dalam proses enkripsi dan dekripsi.

## 1. 4 Batasan Masalah

Adapun batasan masalah pada tugas akhir ini, adalah:

- a) *Software* yang diinginkan adalah aljabar algoritma A8.
- b) Nilai *input Ki* dan *RAND* sebesar masing-masing 128 bit *fixed* dilakukan secara manual melalui *keypad* dan ditampilkan melalui *LCD 2 x 16* karakter.

## 1. 5 Metodologi

Untuk menyelesaikan makalah ini, dilakukan langkah-langkah sebagai berikut:

- a) Mempelajari konsep tentang pengamanan GSM pada telekomunikasi.
- b) Dilakukan proses aljabar algoritma A8 menggunakan mikrokontroler.
- c) Rancang bangun suatu implementasi algoritma A8.
- d) Dilakukan proses uji coba Kc untuk enkripsi dan dekripsi dengan program berbasis PC.

## 1.6 Sistematika Pembahasan

Pada tugas akhir ini terdiri dari 5 (lima) bab, dimana masing-masing bab mempunyai kaitan satu sama lain, yaitu:

### **BAB I PENDAHULUAN**

Memberikan latar belakang tentang permasalahan, tujuan, masalah dan batasan masalah yang dibahas dalam tugas akhir ini.

### **BAB II LANDASAN TEORI**

Memberikan tinjauan pustaka yang berkaitan dengan algoritma A8 yang digunakan untuk pembangkit Kc (*chipering key*). Membahas teori dasar yang menunjang RANCANG BANGUN sistem termasuk diantaranya dasar-dasar mikrokontroler AT89S52.

### **BAB III RANCANG BANGUN SISTEM**

Membahas RANCANG BANGUN sistem yang dibuat baik *hardware* maupun *software*. Antara lain mengenai pembuatan sistem kontrol peralatan, *set-up* pada *port* mikrokontroler, serta *software* komputasi algoritma A8.

### **BAB IV PENGUJIAN DAN ANALISA**

Berisi data akhir output serta analisa mengenai proses terjadinya dengan melakukan simulasi melalui *keypad* terhadap mikrokontroller.

### **BAB V PENUTUP**

Berisi kesimpulan dari dasar-dasar sistem dan RANCANG BANGUN sistem.



## BAB 2

### TINJAUAN PUSTAKA

#### 2.1 Mikrokontroler ATMEL AT89S52[2]

Mikrokontroler AT89S52 merupakan mikrokontroler CMOS 8-bit yang mempunyai tegangan rendah dimana memiliki kemampuan yang tinggi dengan 8 Kbyte *Flash Programmable and Erasable Read Only Memory* (PEROM) atau lebih dikenal dengan *In System Programmable Flash Memory*. Piranti ini memiliki teknologi memori *non volatile* dengan kerapatan tinggi dari Atmel yang kompatibel dengan mikrokontroler standar industri MCS-51 baik pin kaki IC maupun set instruksinya.

AT89S52 ini memiliki *on-chip flash* yang memberikan memori program untuk dapat diprogram ulang kembali ke dalam system yang dilakukan oleh *programmer*. Kombinasi sebuah *versatile* CPU 8-bit dengan menanamkan *flash* memori di dalamnya menjadi sebuah keping monolitik (*monolithic chip*). AT89S52 juga menyediakan cukup banyak instruksi sehingga teknik pemrogramannya sangat mudah yang memungkinkan pembuat program dapat menggunakan dengan fleksibel dengan harga yang murah dan aplikasi-aplikasi yang banyak diperoleh. Selain itu mikrokontroler AT89S52 juga memiliki beberapa fitur lainnya, seperti:

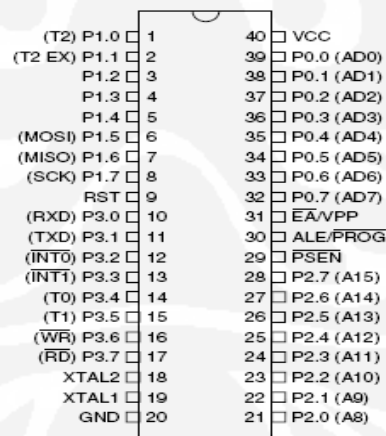
- a) Kompatible dengan keluarga mikrokontroler MCS-51.
- b) 8 Kbyte *In-system Programmable* (ISP) *flash* memori sehingga memiliki kemampuan dapat diprogram sampai 1000 kali pemrograman (baca/tulis).
- c) Tegangan kerja 4.0 – 5.5 V.
- d) Bekerja pada frekuensi 0 – 33 MHz.
- e) Tiga level program *memory lock*.
- f) 256 x 8 bit RAM internal.
- g) 32 jalur I/O yang dapat diprogram.
- h) Tiga buah *Timer/ Counter* 16 Bit.
- i) Delapan sumber *interrupt*.
- j) Saluran UART serial *Full Duplex*.

- k) *Watchdog Timer*.
- l) *Mode low-power idle* dan *Power-down*.
- m) *Interrupt recovery* dari modul *power-down*.
- n) *Dual data pointer*.
- o) Mode pemrograman ISP yang fleksible (*Byte* dan *Page Mode*).

AT89S52 dirancang dengan logika statis untuk operasi hingga frekuensi nol dan mendukung penyimpanan daya dua buah perangkat lunak (*software*) untuk pemilihan mode operasi. Mode *idle* menghentikan CPU dan membiarkan RAM, *timer/counter*, port serial, dan sistem interupsi untuk terus berfungsi. Mode *power-down* menyimpan isi RAM tetapi membekukan osilator, menon-aktifkan seluruh fungsi *chip* sampai ada interupsi eksternal atau reset pada *hardware*.

### 2. 1. 1 Konfigurasi Pin AT89S52

Pada Gambar 2.1 di bawah ini, AT89S52 mempunyai 40 kaki, 32 kaki digunakan untuk keperluan port paralel. Dimana setiap port terdiri atas 8 pin, sehingga terdapat 4 port, yaitu: port 0, port 1, port 2, port 3.



[2]

**Gambar 2. 1** Bentuk Konfigurasi pin AT89S52.

Dari Gambar 2.1 di atas, berikut ini merupakan spesifikasi dari port – port paralel yang mikrokontroler AT89S52, yaitu:

- a) Port 0

Port 0 merupakan port I/O 8 bit jalur bidirectional terbuka, yang berfungsi sebagai port output dan pada masing-masing pin dapat memasukkan 8 input TTL. Pada saat '1' dituliskan ke pin port 0, sehingga pin ini dapat berfungsi sebagai input impedansi tinggi. Port 0 dapat juga dikonfigurasi pada multiplexed low order address/ data bus selama akses ke program eksternal dan memori data, dan pada mode ini P0 mempunyai pull-up internal. Port 0 juga menerima kode byte selama Flash programming dan mengeluarkan kode byte selama program verifikasi.

b) Port 1

Port 1 adalah port I/O 8 bit bidirectional dengan pull-up internal. Port 1 output buffer dapat menjadi sumber 4 TTL input. Ketika '1' ditulis ke pin port 1, pin di-pull high oleh pull-up internal dan dapat digunakan sebagai input. Sebagai input, pin port 1 yang secara eksternal di-pull low akan menjadi sumber arus ( $I_{IL}$ ) karena berasal dari pull-up internal. Port 1 juga menerima low-order address byte selama Flash programming dan verification. Berikut ini adalah fungsi lain dari Port 1, yaitu:

- a. P1.0 : eksternal input counter terhadap timer / counter 2, clock out (T2).
- b. P1.1 : Timer/counter 2 capture/reload trigger/direction control (T2EX).
- c. P1.5 : MOSI ( Digunakan untuk in system programming).
- d. P1.6 : MISO (Digunakan untuk in system programming).
- e. P1.7 : SCLK (Digunakan untuk in system programming).

c) Port 2

Port 2 adalah port I/O 8 bit bidirectional dengan pull-up internal. Output buffer port 2 dapat menjadi 4 sumber TTL input. Ketika '1' ditulis ke pin port 2, pin dapat di pull high oleh pull-up internal dan dapat digunakan sebagai input. Dimana jika sebagai input, pin port 2 yang secara eksternal di pull-low akan menjadi arus sumber ( $I_{IL}$ ) karena berasal dari pull up internal. Port 2 mengeluarkan *high-order address byte* selama pengambilan dari memori program eksternal dan selama akses ke memori data eksternal menggunakan 16 bit alamat (MOVX@DPTR). Dalam aplikasinya menggunakan internal *pull-up* yang kuat ketika mengeluarkan '1'. Selama akses ke memori data eksternal mengeluarkan alamat 8 bit (MOVX@R1), port 2 mengeluarkan isi port 2 Special

Function Register. Port 2 juga menerima high order address bit dan beberapa sinyal control selama Flash programming dan verification.

d) Port 3

Port 3 adalah port I/O 8 bit bidirectional dengan *pull-up internal*. Keluaran buffer port 3 dapat menjadi sumber 4 TTL input. Ketika '1' dituliskan ke port 3, pin di pull-high oleh internal *pull-up* dan dapat digunakan sebagai input. Sebagai input, pin port 3 yang di-pull low sumber arus ( $I_{IL}$ ) karena adanya pull-up internal. Serta menerima pula beberapa sinyal control untuk Flash Programming dan verification. Port ini juga mempunyai fungsi lain, yaitu:

1. P3.0 : RXD (Serial Input Port).
2. P3.1 : TXD (Serial Output Port).
3. P3.2 : INT0 (Eksternal Interrupt 0).
4. P3.3 : INT1 (Esternal Interrupt 1).
5. P3.4 : T0 (Timer 0 Eksternal Input).
6. P3.5 : T1 (Timer 1 Eksternal Input).
7. P3.6 : WR (Eksternal Data Memori Write Strobe).
8. P3.7 : RD (Eksternal Data Memori Read Strobe).

Mikrokontroler AT89S52 selain memiliki port – port parallel, piranti ini juga dilengkapi dengan perangkat komunikasi serial. Untuk mengaktifkan dan mengkonfigurasinya, *programmer* harus mengakses register SCON dan bit SMOD (bit ke-7 pada register PCON). Dimana perangkat komunikasi serial pada mikrokontroler AT89S52 dapat dioperasikan dalam 4 mode, yaitu:

a. Mode 0

Merupakan sarana komunikasi data seri sinkron, data seri dikirim dan diterima melalui kaki RxD, sedangkan kaki TxD dapat dipakai untuk menyalurkan clock yang diperlukan komunikasi data sinkron. Data ditransmisikan per 8 bit dengan kecepatan transmisi data (Baud rate) tetap sebesar  $\frac{1}{2}$  frekuensi kerja AT89S52.

b. Mode 1

Mode 1 dan dua mode berikutnya merupakan sarana komunikasi seri asinkron. Data seri dikirim melalui kaki TxD dan diterima dari kaki RxD. Data

ditransmisikan per 10 bit yang terdiri atas 1 bit start ('0'), 8 bit data, dan 1 bit stop ('1'). Kecepatan transmisi data (baud rate) ditentukan lewat timer 1 yang bisa diatur untuk berbagai kecepatan.

c. Mode 2

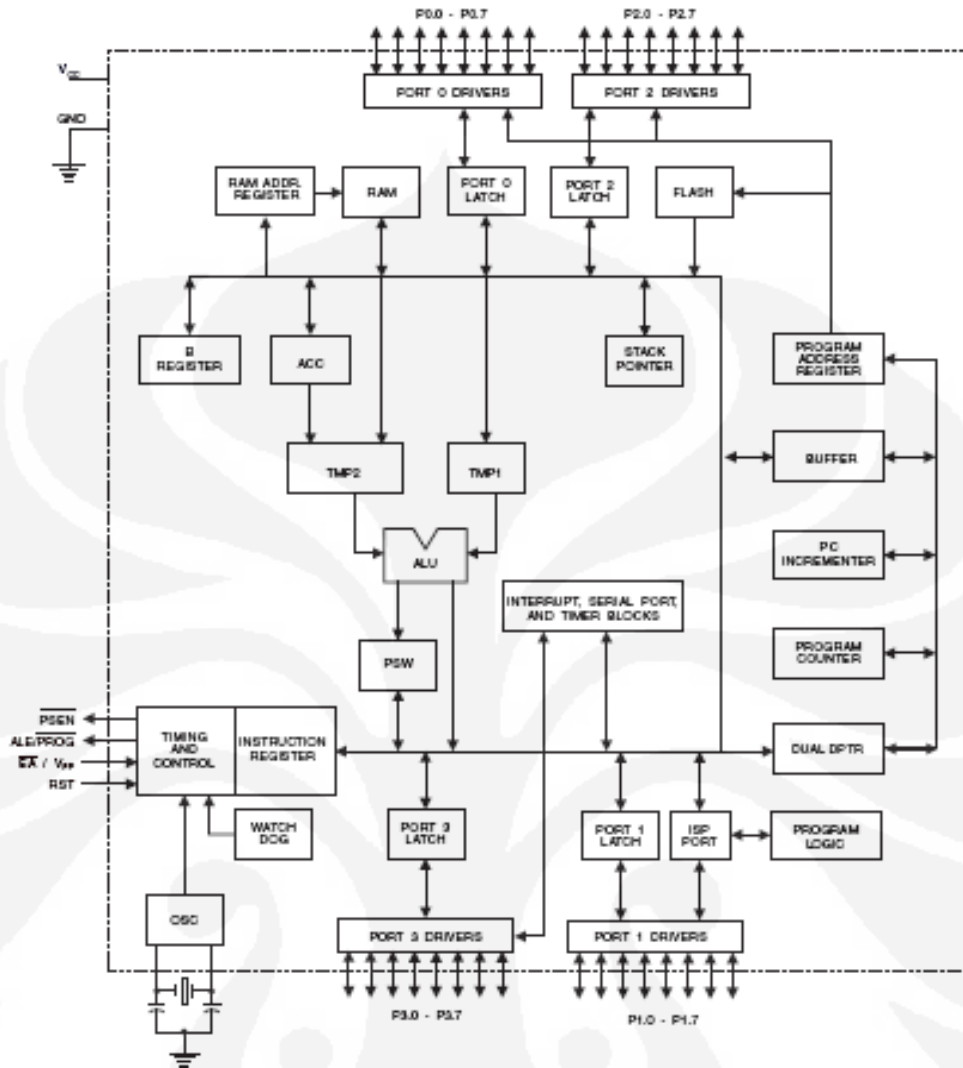
Data seri dikirim melalui kaki TxD dan diterima dari kaki RxD. Data ditransmisikan per 11 bit, terdiri atas 1 bit start ('0'), 8 bit data, 1 bit data tambahan (bit ke-9), dan 1 bit stop ('1'). Kecepatan transmisi data (baud rate) hanya dapat dipilih  $\frac{1}{32}$  atau  $\frac{1}{64}$  frekuensi kerja AT89S52.

d. Mode 3

Data seri dikirim melalui kaki TxD dan diterima dari kaki RxD. Data ditransmisikan per 11 bit juga. Pada dasarnya mode 2 dan mode 3 sama persis. Perbedaannya adalah kecepatan transmisi data (baud rate) mode 3 ditentukan lewat timer 1, yang bisa diatur untuk berbagai kecepatan, persis sama dengan mode 1.

## 2. 1. 2 Arsitektur Mikrokontroler AT89S52

Pada Gambar 2. 2 di bawah ini, memperlihatkan arsitektur mikrokontroler AT89S52.



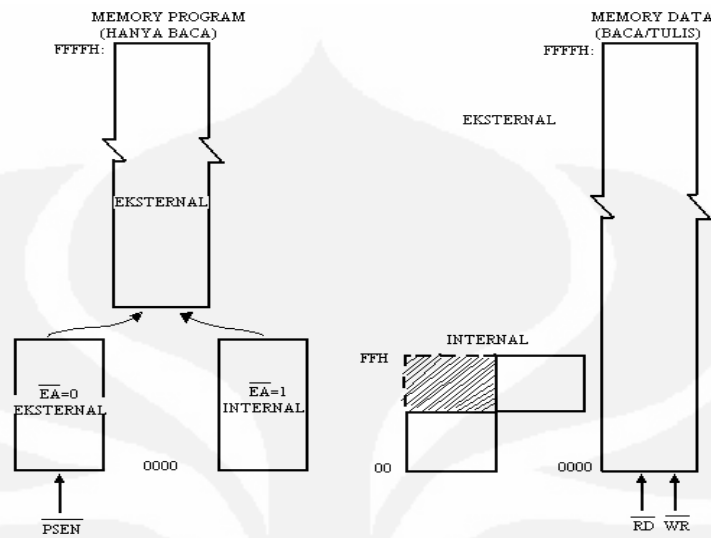
[2]

Gambar 2. 2 Arsitektur AT89S52.

### 2. 1. 3 Organisasi Memory

Semua perangkat MCS-51, termasuk AT89S52, memiliki ruang alamat memori data dan program yang terpisah. Dimana Program memori dikhususkan untuk menyimpan program, hanya bisa dibaca, sedangkan data memori untuk menyimpan data-data yang bisa berubah dalam proses, bisa baca dan tulis.

Dimana pada Gambar 2. 3 memperlihatkan struktur memory dan data pada AT89S52.



[3]

**Gambar 2.3** Struktur memori program dan data pada AT89S52.

Dari Gambar 2.3 tersebut di atas, Pemisahan memori program dan data tersebut membolehkan memori data diakses dengan alamat 8 bit, sehingga dapat dengan cepat dan mudah disimpan dan dimanipulasi oleh CPU 8 bit. Namun demikian, alamat memori data 16 bit bisa juga dihasilkan melalui register DPTR (Data pointer).

a. Memori Program

Memori program hanya bisa dibaca saja. Terdapat memori program yang bisa diakses langsung hingga 64K byte. Sedangkan strobe untuk akses program memori eksternal melalui sinyal Program Store Enable.

b. Memori Data

Memori data menempati suatu ruang alamat yang terpisah dari memori program. Memori eksternal dapat diakses secara langsung hingga 64K byte dalam ruang memori data eksternal. CPU akan memberikan sinyal baca dan tulis, selama pengaksesan memori data eksternal.

c. Flash PEROM

Untuk menyimpan program secara permanen, AT89S52 menyediakan *Flash PEROM* dengan kapasitas 4 Kbyte, yaitu suatu ROM yang dapat ditulis ulang atau dihapus menggunakan *programmer*.

d. SFR (Special Function Register)

Mikrokontroler mempunyai peta memori yang dikenal sebagai Special Function Register (SFR). SFR pada mikrokontroler dibagi menjadi beberapa bagian serta mempunyai alamat masing-masing, seperti pada Gambar 2.4.

0F8H									0FFH
0F0H	B 00000000								0F7H
0E8H									0EFH
0E0H	ACC 00000000								0E7H
0D8H									0DFH
0D0H	PSW 00000000								0D7H
0C8H	T2CON 00000000	T2MOD XXXXXX00	RCAP2L 00000000	RCAP2H 00000000	TL2 00000000	TH2 00000000			0CFH
0C0H									0C7H
0B8H	IP XX000000								0BFH
0B0H	P3 11111111								0B7H
0A8H	IE 0X000000								0AFH
0A0H	P2 11111111		AUXR1 XXXXXX00				WDTRST XXXXXXXX		0A7H
98H	SCON 00000000	SBUF XXXXXXXX							9FH
90H	P1 11111111								97H
88H	TCON 00000000	TMOD 00000000	TL0 00000000	TL1 00000000	TH0 00000000	TH1 00000000	AUXR XX00XX00		8FH
80H	P0 11111111	SP 00000111	DP0L 00000000	DP0H 00000000	DP1L 00000000	DP1H 00000000		PCON 0XXX0000	87H

[2]

**Gambar 2.4** Peta SFR dan nilai resetnya.

Pada Gambar 2. 4 tersebut di atas terlihat bagian sisi kiri dan kanan dituliskan alamat-alamatnya dalam format heksadesimal. Tidak semua alamat pada SFR digunakan dan diimplementasikan pada chip. Jika dilakukan pembacaan pada alamat yang tidak terpakai tersebut akan menghasilkan data acak dan penulisannya tidak menimbulkan efek sama sekali.

Berikut ini adalah beberapa SFR dan alamatnya:

- Accumulator : Menyimpan data sementara (E0H).
- Register B : Operasi perkalian dan pembagian (F0H).
- Program Status word (PSW) : Informasi Status Program (D0H).
- Stack Pointer : Menyimpan dan mengambil data dari atau ke stack (81H).



- e) Data Pointer : Menampung data 16 bit (83H dan 82H).Port 0, 1, 2, 3 : Menyimpan data yang akan dibaca atau ditulis dari atau ke port (80H, 90H, A0H).
  - f) Serial Data Buffer : Sebagai register penyangga penerima atau pengirim (99H).
  - g) Timer Register : Merupakan register-register pencacah 16 bit untuk masing-masing timer 0, 1, dan 2.
  - h) Capture Register : Menyimpan nilai isi ulang (CBH dan CAH).
- e. Mode-mode pengalamatan
- a) Pengalamatan langsung (Direct Addressing)
  - b) Dalam pengalamatan langsung, pemindahan data ditentukan berdasarkan alamat 8 bit (1 byte) dalam suatu instruksi. Hanya RAM data internal dan SFR yang dapat diakses secara langsung.
  - c) Pengalamatan tak langsung (Indirect Addressing)
  - d) Dalam pengalamatan tak-langsung, instruksi menentukan suatu register yang digunakan untuk menyimpan alamat operand. Baik RAM internal maupun eksternal dapat diakses secara tak-langsung. Register alamat untuk alamat-alamat 8 bit bisa menggunakan stack pointer atau R0 atau R1 dari bank register yang dipilih. Sebaliknya, alamat 16 bit hanya bisa menggunakan register pointer data 16 bit atau DPTR.
  - e) Pengalamatan Terindeks (Indexed Addressing)
  - f) Memori program hanya bisa diakses melalui pengalamatan terindeks. Mode pengalamatan ini ditujukan untuk membaca label look-up (look-up tables) yang tersimpan dalam memori program. Sebuah register dasar 16 bit menunjuk ke awal atau dasar tabel dan akumulator di-set dengan angka indeks tabel yang dapat diakses. Alamat dari entri tabel dalam memori program dibentuk dengan menjumlahkan data akumulator dengan penunjuk awal tabel.

## 2. 2 DT-51 MINIMUM SYSTEM.[4]

DT-51 adalah alat pengembangan mikrokontroller keluarga MCS-51TM yang sederhana, handal, dan ekonomis. DT-51 berbentuk sistem minimum dengan komponen utamanya mikrokontroller AT89S52. DT-51 memungkinkan dalam mengembangkan aplikasi digital dengan mudah; menulis software (perangkat lunak) pada komputer yang kemudian men-download ke board DT-51, dan menjalankannya; serta dapat langsung bekerja sendiri (stand-alone) pada sistem yang ada tanpa penggantian / penambahan komponen.

Minimum Sistem mikrokontroler merupakan sebuah kit mikrokontroler yang sudah dapat berfungsi sebagai pengontrol utama suatu sistem elektronika. Kit DT-51 merupakan kit yang lengkap untuk dapat digunakan sebagai board utama karena telah tersedia port serial, input data, memori eksternal 28C64B, dan 1 buah PPI 8255. DT-51 juga telah dilengkapi dengan driver dan port LCD yang memudahkan kita bila ingin menghubungkan LCD ke board. Spesifikasi DT-51 sebagai berikut :

- a. Berbasis mikrokontroler AT89S52 yang berstandar industri.
- b. Serial port interface standar RS-232 untuk komunikasi antara komputer dengan board DT-51.
- c. 8 Kbytes non-volatile memory (EEPROM) untuk menyimpan program dan data.
- d. 4 port input output (I/O) dengan kapasitas 8 bit tiap portnya.
- e. Port *Liquid Crystal Display* (LCD) untuk keperluan tampilan.
- f. Konektor ekspansi untuk menghubungkan DT-51 dengan add-on board yang kompatibel dari Innovative Electronics.

### 2. 2. 1 Peta Memori DT-51

Peta Memori DT-51 menunjukkan alamat masing-masing bagian komponen sebagai berikut :

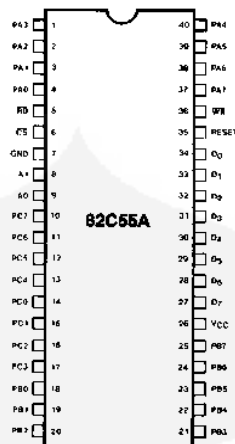
- a. 0000H - 1FFFH, 8 Kbyte pertama digunakan sebagai internal dan 4 Kbyte PEROM yang berisi kernel code, sedangkan 4K sisanya reserved.
- b. 2000H - 3FFFH, 8 Kbyte kedua digunakan untuk PPI 8255 dan hanya terpakai 4 alamat :
- c. 2000H - Port A
- d. 2001H - Port B
- e. 2002H - Port C
- f. 2003H - Control Word Register
- g. 4000H - 5FFFH, 8 Kbyte ketiga digunakan oleh EEPROM untuk menyimpan User Code.
- h. 6000H – FFFFH, CS3-CS7 disediakan untuk ekspansi.

Pada memori internal DT-51 sudah diisi dengan kernel yang tidak bisa ditulis ulang kembali. Oleh karena itu, DT-51 menggunakan memori eksternal AT28C64B, yaitu Electrically Erasable and Programmable Read Only Memory (EEPROM) kualitas tinggi berukuran 64 KByte, yang terdiri dari 8.192 words berukuran 8 bit, sehingga memiliki ukuran program yang lebih besar.

#### 2. 2. 2 PPI 82C55 (*Programmable Peripheral Interface*).[5]

*Programmable Peripheral Interface* (PPI) 8255 adalah komponen antarmuka yang sangat populer serta murah dan merupakan chip antarmuka 24 bit (3 port) yang dapat diprogram kerjanya sesuai keinginan. PPI 8255 merupakan chip yang paling banyak digunakan untuk interfacing computer yang dihubungkan ke port ISA computer.

Di bawah ini adalah Gambar 2.5 IC PPI 82C55 sebagai komponen antarmuka.



[5]

**Gambar 2. 5** Pin-Out dari adapter antarmuka peripheral (PPI) 8255.

Pada Gambar 2.5 tersebut di atas, yang merupakan pin kaki IC 8255 yang terdiri dari 40 pin, dimana pin Gnd berada pada pin 7 dan Vcc pada pin ke 26. Berikut ini merupakan detugas akhir dari masing-masing pin:

- a. PA0 – PA7, Pin ini merupakan port A yang terdiri dari 8 bit yang dapat diprogram sebagai input atau output dengan mode bidirectional input/output.
- b. PB0 – PB7, Port B ini dapat diprogram sebagai input/output tetapi tidak dapat digunakan sebagai port bidirectional.
- c. PC0 – PC7, Port C ini dapat diprogram sebagai input/output bahkan dapat dipecah menjadi 2, yaitu CU (bit PC4 – PC7) dan CL (bit PC0 – PC3).
- d. RD dan WR, Sinyal kontrol aktif rendah ini dihubungkan ke 8255. Jika 8255 menggunakan desain peripheral I/O, IOR, dan IOW dari sistem bus, maka akan dihubungkan ke kedua pin ini.
- e. RESET, Pin aktif tinggi ini digunakan untuk membersihkan (clear) control register. Ketika RESET diaktifkan, seluruh port akan diinisialisasi sebagai port input.

Untuk IC 82C55 dipilih dari pin Control select (CS) untuk pemrograman dan untuk membaca atau menulis ke suatu port. Pemilihan register dilaksanakan melalui pin-pin masukan A0 dan A1 yang memilih suatu register internal untuk pemrograman

atau operasi. Dimana pada Table 2.1, menunjukkan tugas port I/O yang dipakai untuk memprogram dan mengakses port I/O.

**Tabel 2. 1.** Pemilihan port I/O untuk 8255.

CS	A1	A0	Fungsi
0	0	0	Port A
0	0	1	Port B
0	1	0	Port C
0	1	1	Control Register
1	X	X	8255 tidak dipilih

[5] "telah diolah kembali"

Pada saat port A, B, dan C digunakan sebagai I/O, maka mode operasi port tersebut perlu di-set. Ada empat mode operasi yang dimiliki 8255, yaitu:

- a. Mode 0 (Basic input / output). Merupakan mode yang paling sederhana, dimana semua port dapat diprogram sebagai input/output. Pada mode ini seluruh port sebagai output atau input dan tidak ada port yang dapat dikontrol secara individual.
- b. Mode 1 (Strobe input / output). Pada mode ini port A dan B dapat digunakan sebagai input atau output dengan kemampuan *handshaking*. Sinyal *handshaking* disediakan oleh bit-bit port C.
- c. Mode 2 (*Bidirectional bus*). Port A dapat digunakan sebagai port *bidirectional* I/O dengan kemampuan *handshaking*, dimana sinyalnya disediakan oleh port C. Port B dapat digunakan sebagai model I/O sederhana atau mode 1 *handshaking*.
- d. Mode BSR (Bit *Set / Reset*). Dengan mode ini, hanya port individual port C saja yang dapat diprogram.

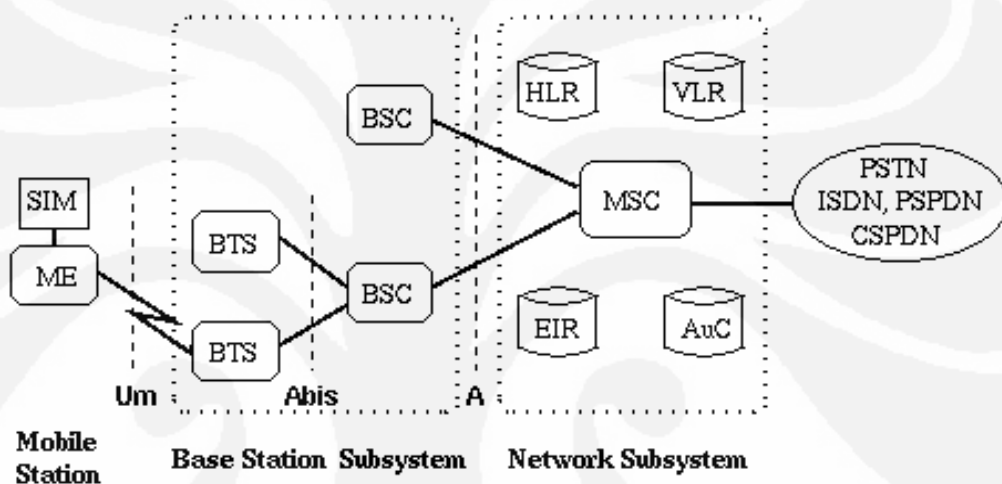
### 2.3. Global System for Mobile Communication [7]

*Global Sistem for Mobile communication* (GSM) adalah sebuah standar global untuk komunikasi bergerak digital. GSM adalah nama dari sebuah group

standarisasi yang dibentuk di Eropa tahun 1982 untuk menciptakan sebuah standar bersama telpon bergerak selular di Eropa yang beroperasi pada daerah frekuensi 900 MHz. GSM saat ini banyak digunakan di negara-negara di dunia. Jaringan GSM dibagi tiga bagian yaitu:

- The base subscriber carries the mobile station. (MS)*
- The base station subsystem.*
- The network subsystem.*

Gambar 2.6 Lay-out keseluruhan arsitektur jaringan dari sistem *global system for mobile communication (GSM)*.



Gambar 2.6 Layout generic dari jaringan GSM menurut John's Scourias [3]

Keterangan Gambar 2.6:

- (ME)/HP = Mobile Equipment	- SIM =Subscriber Identification Module
- BTS = Base Transceiver Station	- BSC = Base Station Controller
- MSC = Mobile Service Switching Centre	- HLR = Home Location Register
- VLR = Visitors Locations Register	- EIR = Equipment Identity Register
- AuC = Authentication Center	- PSTN = Public Switched Telephone network
- ISDN =Integrated Service Digital Network	

### 2.3.1 Mobile Station (MS)

MS merupakan perangkat *outstation* yang biasanya berupa pesawat telepon, yang digunakan pelanggan untuk mendapatkan pelayanan dari jaringan GSM tertera pada Gambar 2.7 yang terdiri dari:



Gambar 2.7 Bagian dari pembentuk *Mobile Station* (MS) [4]

### 2.3.2 Mobile Equipment (ME)

ME adalah perangkat yang berupa pesawat teleponnya, serta berfungsi sebagai:

- Unit kontrol, yaitu peralatan di mana pelanggan dapat memilih nomor-nomor yang akan dikirim,
- Unit *transceiver*, yang berfungsi menghubungkan MS dengan BSS melalui hubungan radio dua arah.

Setiap ME memiliki *International Mobile Equipment Identity* (IMEI) yang digunakan untuk mencegah penggunaan perangkat ME yang mengalami suatu pencurian.

#### a) *Subscriber Identity Module* (SIM) card.

SIM card merupakan smart card di mana di dalamnya terdapat microprocessor (umumnya 8 bit), RAM, ROM dan EPROM, sehingga selain menyimpan data dapat pula melakukan proses komputasi [5]. Jika kita melihat dimensi fisiknya, maka dikenal 2 macam SIM card, yaitu IC card SIM (memenuhi standard ISO-7816) yang memiliki ukuran sebesar kartu kredit dan *plug-in* SIM yang memiliki ukuran 15 x 25 mm.

SIM card berfungsi sebagai Unit Logic, yaitu merupakan pengontrol utama terhadap peralatan MS dan digunakan untuk menyimpan informasi untuk mendukung operasi dan pelayanan sistem GSM yang berhubungan dengan proses autentikasi pelanggan. SIM card berisi nomor khusus dari pelanggan yang disebut *International Mobile Subscriber Identity* (IMSI).

Untuk keperluan keamanan, SIM card juga melakukan mekanisme pengecekan keabsahan antara pemakai dengan MS dengan menggunakan PIN (*Personal Identification Number*) atau CHV (*Card Holder Verification*). Demi alasan keamanan, PIN dapat diganti oleh pemakai jika PIN yang lama sudah diketahui oleh orang lain.

Pemakai harus memasukkan serangkaian digit (biasanya 4-8 digit) untuk dapat memakai perangkat MS-nya. SIM card akan membandingkan digit tersebut dengan data PIN yang tersimpan dalam SIM. Jika sama maka pengaksesan dapat dilanjutkan, sedangkan jika berbeda akan diberi kesempatan tiga kali mencoba dan jika tidak sama juga, maka SIM card akan diblok. Pembukaan *blocking* dapat dilakukan oleh pemakai dengan menggunakan fasilitas PUK (*Personal Unblocking Key*). Pembukaan *blocking* dibatasi sampai sepuluh kali dan setelah itu SIM card tidak dapat dipakai lagi sehingga harus diganti dengan yang baru.

Sebagai tambahan untuk keperluan pengecekan otorisasi pelanggan tersebut, maka SIM card harus menyediakan kapabilitas penyimpanan informasi tentang PIN (*Personal Identity Number*), *indicator enable/disable* PIN, perhitungan kesalahan PIN, PUK (*Personal Unblocking Key*), data autentikasi.

### 2.3.3 Arsitektur Jaringan GSM [6]

Suatu jaringan GSM tersusun atas beberapa fungsionalitas, yang fungsinya maupun antarmukanya telah dispesifikasikan. Jaringan GSM dapat dibagi menjadi 3 bagian besar. *Mobile Station* (MS) dibawa oleh pelanggan. *Base Station Subsystem* (BS) mengendalikan jalur radio dengan MS. *Network Subsystem*, yang mempunyai bagian



utama disebut *Mobile Services Switching Center* (MSC), melaksanakan pensaklaran panggilan antar pengguna bergerak dengan pengguna jaringan tetap. MSC juga menangani operasi pengelolaan mobilitas. Selain itu ada *Operations and Maintenance Center*, yang menjamin operasi yang benar dan setup jaringan. MS dan BSS berkomunikasi melalui antarmuka, yang dikenal sebagai antarmuka udara atau jalur radio. BSS berkomunikasi dengan MSC melalui antarmuka A. Beberapa istilah berikut akan dibahas :

SIM = *Subscriber Identity Module*

ME = *Mobile Equipment*

BTS = *Base Transceiver Station*

BSC = *Base Station Controller*

HLR = *Home Location Register*

VLR = *Visitor Location Register*

MSC = *Mobile Service Switching center*

EIR = *Equipment Identity Register*

AuC = *Authentication Centre*

#### 2.3.4 Stasiun Bergerak (MS)

MS tersusun atas peralatan bergerak (terminal) dan suatu *smart card* yang disebut *Subscriber Identity Module* (SIM). SIM menyediakan mobilitas personal, sehingga pengguna dapat mengakses layanan yang ia langgan tidak tergantung terminalnya. Dengan menyisipkan kartu SIM kedalam terminal lain, pengguna dapat menerima panggilan dari terminal tersebut, membuat panggilan dari terminal tersebut, dan menerima layanan lainnya.

Peralatan bergerak secara unik diidentifikasi dengan *International Mobile Equipment Identity* (IMEI). Kartu SIM berisi *International Mobile Subscriber Identity* (IMSI) yang dipakai untuk mengidentifikasi pelanggan sistem, sebuah kunci rahasia untuk autentikasi, dan informasi lainnya. IMEI dan IMSI adalah independen, sehingga

memungkinkan mobilitas personal. Kartu SIM dapat diproteksi terhadap pemakaian yang tidak sah dengan sebuah *password* atau PIN (*Personal Identification Number*).

### 2.3.5 Subsistem Base Station

Subsistem base station tersusun atas dua bagian, *Base Transceiver Station* (BTS) dan *Base Station Controller* (BSC). Keduanya berkomunikasi menggunakan antar muka standar Abis, yang memungkinkan operasi antara komponen-komponen yang dibuat oleh pabrik yang berbeda (interoperabilitas).

BTS mempunyai *tranceiver* radio yang mendefinisikan suatu sel dan menangani protokol jalur radio dengan stasiun bergerak. Di daerah urban yang luas, akan banyak terdapat BTS karena itu BTS harus memenuhi persyaratan: tahan banting (*ruggedness*), reliabilitas, portabilitas, dan biaya minimum.

BSC mengelola sumberdaya radio untuk satu atau lebih BTS. Ia menangani setiap saluran radio, *frequency hopping*, dan *handover*. BSC merupakan koneksi antara stasiun bergerak dengan MSC.

### 2.3.6 Subsistem Jaringan

Komponen utama subsistem jaringan adalah MSC. Ia berperanan seperti halnya *switching node* pada PSTN atau ISDN, dan selain itu menyediakan semua fungsionalitas yang diperlukan untuk menangani pelanggan bergerak, seperti halnya registrasi, autentikasi, *location updating*, *handover*, dan *call routing* ke pelanggan yang *roaming*. Layanan-layanan ini disediakan berkaitan dengan berbagai entitas fungsional, yang bersama-sama membentuk subsistem jaringan. MSC menyediakan koneksi ke jaringan tetap (PSTN atau ISDN). Pensinyalan antara entitas fungsional pada subsistem jaringan menggunakan *Signalling System Number 7* (SS7), yang dipakai untuk *trunk signaling* pada ISDN dan secara meluas dipakai pada jaringan publik.

HLR dan VLR bersama dengan MSC, menyediakan kompatibilitas *call-routing* dan *roaming* dari GSM. HLR berisi semua informasi administratif dari setiap pelanggan

yang tercatat pada jaringan GSM yang berkaitan, bersama-sama dengan lokasi saat itu dari unit bergerak. Lokasi unit bergerak biasanya dalam bentuk alamat pensinyalan dari VLR yang berkaitan dengan stasiun bergerak. Secara logika ada sebuah HLR untuk tiap jaringan GSM, sekalipun dapat diimplementasikan sebagai basis data terdistribusi.

VLR berisi informasi administratif terpilih dari HLR, yang diperlukan untuk pengendalian panggilan dan penyediaan layanan-layanan, untuk tiap unit bergerak yang saat ini berlokasi di daerah yang secara geografis dikendalikan oleh VLR. Sekalipun tiap entitas fungsional dapat diimplementasikan sebagai suatu unit independen, semua manufaktur piranti *switching* hingga saat ini masih mengimplementasikan VLR bersama dengan MSC, sehingga area geografis yang dikendalikan oleh MSC sama dengan area yang dikendalikan VLR, sehingga menyederhanakan persyaratan pensinyalan. Harap dicatat bahwa MSC tidak berisi informasi tentang stasiun bergerak tertentu. Informasi ini disimpan pada register lokasi.

### 2.3.7 Subscriber Identity Module (SIM)

SIM menyediakan identitas ke ME. SIM tidak lain adalah sebuah *smart card* yang memiliki CPU dan memori. Parameter pelanggan disimpan di SIM. SIM mempunyai EEPROM dan ROM. ROM berisi algoritma A3 dan A8. EEPROM berisi IMSI dan Ki. PIN memproteksi SIM terhadap penggunaan yang tidak sah. PUK (**Personal Unblocking Key**) memproteksi terhadap pemasukan PIN yang salah berikutnya, terlihat pada Tabel 2.2 tentang ukuran memori pada SIM card.

Tabel 2.2. Memori pada SIM card

Memori	Ukuran Umum	Ukuran Maksimum
ROM	4-6 Kbyte	16 Kbyte
RAM	126-160 Byte	256 Byte
EEPROM	2-3 KByte	8 KByte

### 2.3.8 Home Location Register (HLR)

HLR menyimpan identitas dan data pengguna dari semua pelanggan di area tersebut. Ini meliputi IMSI, Ki, ijin layanan suplemen, dan beberapa data temporer. Data temporer adalah address dari VLR di mana pengguna tercatat, informasi *call forwarding*, dan parameter transien untuk autentikasi dan enkripsi.

### 2.3.9 Visitor Location Register (VLR)

VLR berisi data yang relevan dari semua stasiun bergerak yang sedang tercatat pada suatu area layanan. Data permanen ada di HLR. Data temporer agak berbeda, misalnya data dapat berisi TMSI. Bahkan sekalipun stasiun bergerak berada pada areanya sendiri, ia akan tercatat di VLR dan tentu saja HLR.

### 2.3.10 Authentication Center (AuC)

Semua algoritma autentikasi dan parameter-parameternya disimpan di AuC. AuC menyediakan untuk HLR atau VLR parameter-parameter yang diperlukan untuk mengautentikasi identitas pengguna. AuC mengetahui algoritma yang mana dan parameter yang harus dipakai untuk pengguna tertentu. *SIM card* yang diberikan kepada pengguna berisi algoritma dan parameter yang sama dengan yang ada pada AuC

### 2.3.11 Konfidensialitas Identitas Pengguna

Sebelum pengguna membuat panggilan atau mulai *standby* untuk menerima panggilan, identitasnya harus diketahui oleh jaringan.

IMSI (*International Mobile Subscriber Identity*) secara unik mengidentifikasi pelanggan. Biasanya yang dikirim adalah identitas temporer TMSI (*Temporary Mobile Subscriber Identity*), bukan IMSI. Ini dilakukan untuk mencegah *intruder*:

- a. Memperoleh informasi mengenai sumberdaya yang sedang digunakan pengguna .
- b. Mencegah pelacakan lokasi pengguna .
- c. Mempersulit pencocokan data pengguna dengan data yang dikirimkan.

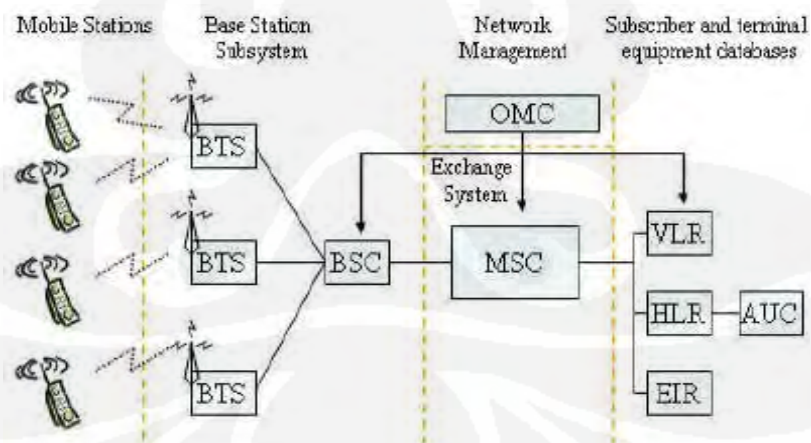
IMSI hanya dikirimkan bila diperlukan, misalnya ketika pengguna menggunakan *SIM card* nya untuk saat pertama kali atau ada kehilangan data di VLR. Ketika SIM

card digunakan pertama kali, MS (*Mobile Station*) membaca *TMSI default* yang disimpan pada *card*. Kemudian MS mengirim *TMSI default* ini ke VLR. Karena VLR tidak tahu adanya *TMSI* ini, ia akan meminta *IMSI* dari MS. MS mengirim *IMSI* ke VLR. Kemudian VLR memberikan *TMSI* baru bagi pengguna tersebut. VLR mengirim *TMSI* baru ke MS dalam bentuk terenkripsi. Algoritma enkripsinya adalah A5. Kunci enkripsi adalah Kc. MS mendekripsikan pesan dan memperoleh *TMSI*. Selanjutnya MS hanya menggunakan *TMSI* untuk mengidentifikasi dirinya. *TMSI* hanya berukuran 5 digit, dan unik dalam area lokasi MS bergerak.

*LAI* (*Location Area Identification*) dan *TMSI* secara unik mengidentifikasi pengguna. VLR menyimpan *LAI* dan *TMSI* untuk tiap pengguna pada areanya. Sebuah *TMSI* baru akan dialokasikan untuk tiap prosedur *update* lokasi. Jika system tidak gagal beroperasi (i.e. beroperasi dengan baik), *IMSI* tidak dipakai lagi. VLR baru selalu memperoleh *IMSI* dari VLR lama dengan menggunakan *TMSI* lama dan *LAI* yang dikirim oleh MS.

## 2.4 Pengamanan Untuk GSM

Arsitektur GSM dapat dilihat pada ilustrasi Gambar 2.8 di bawah ini .



Gambar 2.8 Arsitektur GSM [6]

Dari Gambar 2.8 di atas, dapat dilihat bahwa dalam berkomunikasi, telepon seluler, *mobile station* (MS), memanfaatkan layanan jaringan melalui *base station subsystem*

yang terdiri dari beberapa *base transceiver station* (BTS) dan sebuah *base station controller* (BSC). BSC akan terhubung dalam manajemen jaringan operator GSM. Subsistem jaringan memanfaatkan basis data berikut untuk keperluan otentikasi dan keamanan :

- a. *Home Location Register* (HLR), basis data yang menyimpan seluruh informasi administratif dari tiap pelanggan jaringan GSM yang terdaftar, lengkap dengan lokasi terkini (*current location*) dari MS.
- b. *Visitor Location Register* (VLR), melacak MS yang berada di luar *home network*, sehingga jaringan dapat dengan mudah mendeteksi keberadaan MS tersebut.
- c. *Equipment Identity Register* (EIR), berisi daftar *International Mobile Equipment Identity* (IMEI) yang dibolehkan untuk menggunakan layanan jaringan.
- d. *Authentication Center* (AuC), basis data yang berisi: *International Mobile Subscriber Identity* (IMSI), *Temporary Mobile Subscriber Identity* (TMSI), *Location Area Identity* (LAI), dan *Authentication Key* (Ki).

Ada beberapa cara yang dipakai dalam upaya melakukan pengamanan komunikasi jaringan GSM, yaitu :

- a. *Personal Identification Number* (PIN) pada MS.
- b. Otentikasi pengguna layanan.
- c. Enkripsi pada GSM.
- d. Penggunaan TMSI

## 2.5 Kriptografi

Kriptografi dalam sejarahnya tercatat dipergunakan secara terbatas oleh bangsa Mesir 4000 tahun lalu. Kriptografi (*Cryptography*) berasal dari dua kata yaitu “*Crypto & graphy*” yang dalam sudut bahasa “*Crypto*” dapat diartikan rahasia (*secret*) dan “*graphy*” dapat diartikan tulisan (*writing*) jadi Kriptografi (*Cryptography*) dapat diartikan sebagai suatu ilmu atau seni untuk mengamankan pesan agar aman dan dilakukan oleh “*Cryptographer*”. Orang yang melakukan

enkripsi terhadap suatu pesan atau praktisi kriptografi disebut “*Cryptographer*”. Sebuah pesan yang tidak disandikan atau dienkripsi disebut sebagai plaintext atau disebut juga sebagai cleartext. Sedangkan pesan yang telah disandikan dengan sebuah algoritma kriptografi disebut sebagai ciphertext. Proses untuk mengubah plaintext ke ciphertext disebut encryption atau encipherment. Sedang proses mengubah ciphertext ke plaintext disebut decryption atau decipherment.

Fasilitas untuk mengkonversikan sebuah plaintext ke ciphertext atau sebaliknya disebut *Cryptographic system* atau *Cryptosystem* dimana sistem tersebut terdiri dari algoritma–algoritma tertentu yang tergantung pada sistem yang digunakan. Algoritma kriptografi (*cryptographic algorithm*) disebut *cipher* yang merupakan persamaan matematik yang digunakan dalam proses enkripsi dan deskripsi dimana proses tersebut diatur oleh satu atau lebih kunci kriptografi. Kunci-kunci tersebut secara umum digunakan untuk proses pengenkripsian dan pendeskripsian tidak perlu identik, tergantung sistem yang digunakan.

Proses enkripsi dan deskripsi secara matematis diterangkan sebagai berikut :

$$EK (M) = C (Proses Enkripsi) \quad (2.1)$$

$$DK (C) = M (Proses Deskripsi) \quad (2.2)$$

Keterangan :

EK : Enkripsi.

DK : Deskripsi.

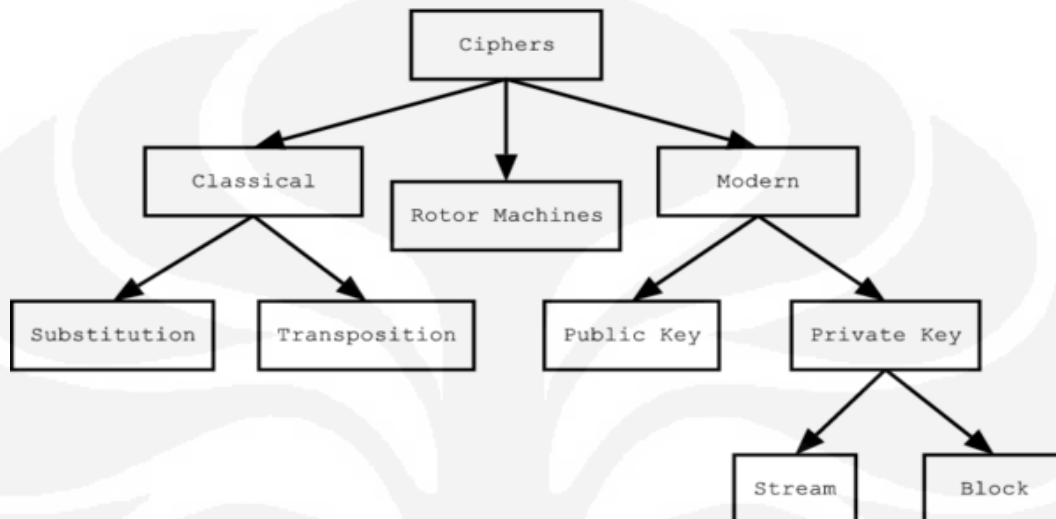
M : Message (Pesan sebelum dienkripsi).

C : Cipher (Pesan setelah dienkripsi).

Secara umum algoritma kriptografi diciptakan oleh orang yang berpengalaman dalam bidang keamanan data dan mungkin pernah membuka sebuah algoritma kriptografi tanpa bantuan kunci. Pelaku yang melakukan tindakan memecahkan *ciphertext* tanpa

bantuan kunci disebut *Cryptanalyst*. Sedangkan Ilmu dan seni membuka (*breaking*) ciphertext tanpa bantuan kunci disebut *Cryptanalysis*.

Pada Gambar 2.9 di bawah ini, ditunjukkan tipe-tipe *Cipher* :



**Gambar 2.9** Tipe *Cipher*

Tujuan dari adanya enkripsi adalah untuk meningkatkan keamanan data tetapi juga berfungsi untuk :

- a. Melindungi data agar tidak dapat dibaca oleh orang-orang yang tidak berhak.
- b. Mencegah agar orang-orang yang tidak berhak, menyisipkan atau menghapus data.

Sedangkan tujuan dari sistem kriptografi adalah sebagai berikut :

- a. *Confidentiality*, memberikan kerahasiaan pesan dan menyimpan data dengan menyembunyikan informasi lewat teknik-teknik enkripsi.
- b. *Message Integrity*, memberikan jaminan untuk tiap bagian bahwa pesan tidak akan mengalami perubahan dari saat ia dibuat sampai saat ia dibuka.
- c. *Non-repudiation*, memberikan cara untuk membuktikan bahwa suatu dokumen datang dari seseorang apabila ia mencoba menyangkal memiliki dokumen tersebut.



- d. *Authentication*, memberikan dua layanan. Pertama mengidentifikasi keaslian suatu pesan dan memberikan jaminan keotentikannya. Kedua untuk menguji identitas seseorang apabila ia akan memasuki sebuah sistem.

Terdapat tiga kategori enkripsi yaitu :

- a. Kunci enkripsi rahasia, dalam hal ini terdapat sebuah kunci yang digunakan untuk mengikripsi dan juga sekaligus mendeskripsikan informasi.
- b. Kunci enkripsi *public*, dalam hal ini terdapat dua kunci yang digunakan, satu untuk proses enkripsi, satu lagi untuk proses deskripsi.
- c. Fungsi *one-way*, dimana informasi dienkrpsi untuk menciptakan "*signature*" dari informasi asli yang bisa digunakan untuk keperluan autentifikasi.

Dalam *Cryptosystem* menurut teknik enkripsinya dapat digolongkan menjadi dua buah, yaitu :

- a. *Symmetric Cryptosystem* ( Enkripsi Konvensional)

Dalam *symmetric cryptosystem*, kunci yang digunakan dalam proses enkripsi dan dekripsi adalah sama atau pada prinsipnya identik. Kunci ini pun bisa diturunkan dari kunci lainnya. Oleh karena itu sistem ini sering disebut *secret-key ciphersystem*.

Jumlah kunci yang dibutuhkan umumnya adalah :

$${}_n C_2 = \frac{n \cdot (n-1)}{2} \quad (2.1)$$

Dimana  $n$  adalah banyaknya pengguna. Kunci yang menggunakan teknik enkripsi ini harus betul-betul dirahasiakan.

- b. *Assymmetric Cryptosystem* (Enkripsi *public-key*)

Dalam *Assymmetric cryptosystem*, kunci yang digunakan terdapat dua buah. Satu kunci yang dapat dipublikasikan disebut kunci publik (*public key*), satu lagi kunci yang harus dirahasiakan disebut kunci privat (*private key*). Secara sederhana proses tersebut diterangkan sebagai berikut :

- a) A mengirimkan pesan kepada B.

- b) A menyandikan pesannya dengan menggunakan kunci publik B.
- c) Bila B ingin membaca pesan dari A, ia harus menggunakan kunci privatnya untuk mendekripsikan pesan yang tersandikan itu.

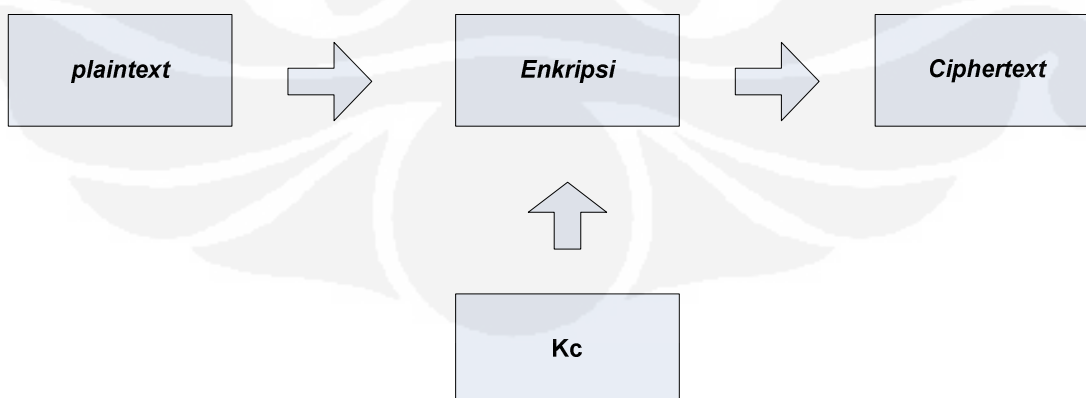
Dalam Cryptosystem yang baik harus memiliki karekteristik sebagai berikut :

- a. Keamanan sistem terletak pada kerahasiaan kunci dan bukan pada kerahasiaan algoritma yang dipergunakan.
- b. Cryptosystem yang baik memiliki ruang kunci (*keyspace*) yang besar.
- c. Cryptosystem yang baik akan menghasilkn ciphertext yang terlihat acak dalam seluruh tes statistik yang dilakukan terhadapnya.
- d. Cryptosystem yang baik mampu menahan seluruh serangan yang dikenal sebelumnya.

Bila salah satu hal diatas tidak dimiliki oleh sebuah *Cryptosystem* maka kemungkinan besar pesan yang di enkripsi oleh *Cryptosystem* dapat dibongkar sehingga isi dari pesan tersebut dapat dibaca oleh orang yang tidak berkepentingan. Salah satu *Cryptosystem* yang dapat dibongkar (*broken*) adalah LOKI 97, salah satu kandidat *Advanced Encryption Standard* (AES). LOKI 97 mempunyai kelemahan dalam persamaan matematika dan dalam f-functinnya.

### 2.5.1 Enkripsi

Secara singkat, pada Gambar 2.10 di bawah ini proses enkripsi adalah proses mengubah teks terang *plaintext* menjadi teks tersandi *ciphertext*.



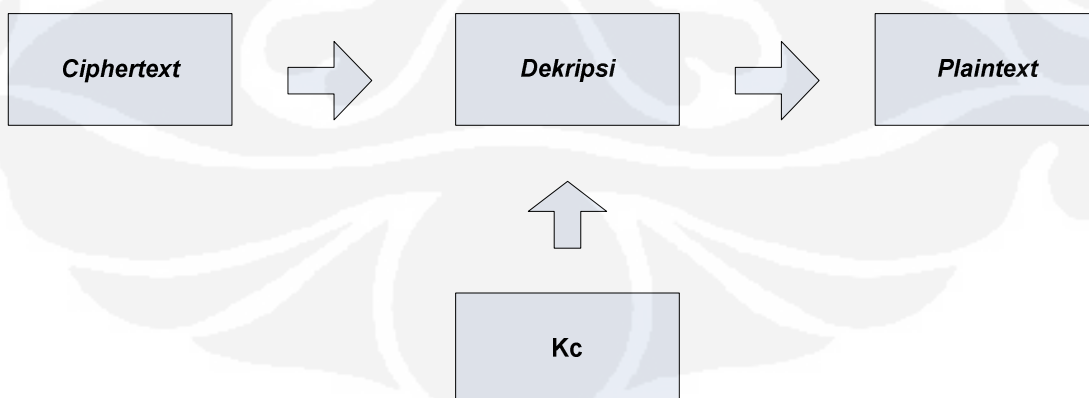
Gambar 2.10 Proses Enkripsi

Pada Gambar 2.10 di atas dijelaskan bahwa proses enkripsi dilakukan dengan penggabungan *plaintext* dengan  $K_c$  per byte untuk menghasilkan satu karakter. Di bidang kriptografi, enkripsi ialah proses mengamankan suatu informasi dengan membuat informasi tersebut tidak dapat dibaca tanpa bantuan pengetahuan khusus. Dikarenakan enkripsi telah digunakan untuk mengamankan komunikasi di berbagai negara, hanya organisasi-organisasi tertentu dan individu yang memiliki kepentingan yang sangat mendesak akan kerahasiaan yang menggunakan enkripsi. Di pertengahan tahun 1970-an, enkripsi kuat dimanfaatkan untuk pengamanan oleh sekretariat agen pemerintah Amerika Serikat pada domain publik, dan saat ini enkripsi telah digunakan pada sistem secara luas, seperti Internet *e-commerce*, jaringan Telepon bergerak dan ATM pada bank.

Enkripsi dapat digunakan untuk tujuan keamanan, tetapi teknik lain masih diperlukan untuk membuat komunikasi yang aman, terutama untuk memastikan integritas dan autentikasi dari sebuah pesan. Contohnya, *Message Authentication Code (MAC)* atau *digital signature*. Penggunaan yang lain yaitu untuk melindungi dari analisis jaringan komputer.

### 2.5.2 Dekripsi

Pada Gambar 2.11 di bawah ini dilakukan proses dekripsi yang merupakan kebalikan dari proses enkripsi.



**Gambar 2.11** Block Dekripsi

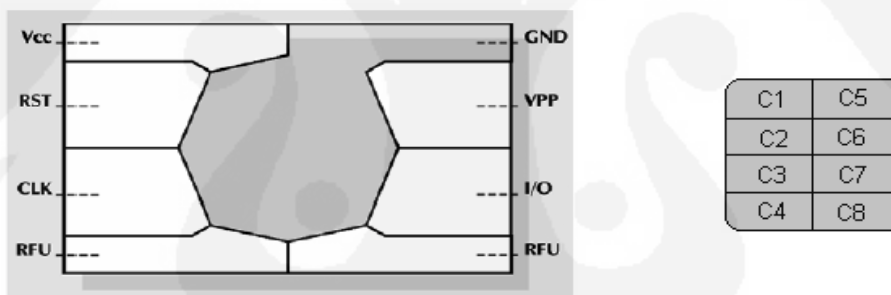
Pada proses dekripsi dilakukan dengan metode kebalikan dari proses enkripsi untuk diperolehnya nilai atau informasi awal. *Ciphertext* dan *Kc* merupakan input untuk block dekripsi, di mana dilakukan proses komputasi sehingga akan diperoleh *plaintext*. Pada proses dekripsi ini, semua data dilakukan perhitungan invers dari perhitungan enkripsi, dan *ciphertext* yang merupakan informasi tersandi dapat dengan mudah dibaca atau diketahui informasinya setelah dilakukan proses dekripsi ini.

## 2.6 Konfigurasi Pin *Simcard*.

Memori pada kartu chip memiliki 2 fungsi dasar:

- a. Tempat penyimpanan data.
- b. Tempat menjalankan algoritma-algoritma untuk pembuktian identitas pelanggan.

Informasi data tersebut disimpan dalam file data untuk aplikasi khusus.



**Gambar 2.12** Struktur kontak pada kartu [11]

Fungsi kontak-kontak pada Gambar 2.12 diatas adalah :

- a. C1 digunakan untuk *input power supply* (*Vcc*) dari piranti antarmuka.
- b. C2 untuk RST dan digunakan oleh piranti antarmuka untuk mengirim sinyal reset ke mikrosirkuit kartu.
- c. C3 untuk *clock* (CLK) dan sinyal-sinyal pewaktuan dikirimkan ke kartu melalui C3.
- d. C5 sebagai tegangan referensi (GND), nilai tegangan itu dianggap 0 volt.
- e. C6 secara bebas digunakan untuk memprogram atau menghapus (*Vpp*).

- f. C7 menyelenggarakan komunikasi ke dan dari kartu, dan disebut I/O.
- g. C4 dan C8 tidak digunakan.



## BAB 3

### RANCANG BANGUN SISTEM

#### 3.1 RANCANG BANGUN SOFTWARE

##### 3.1.1 Diagram Alir

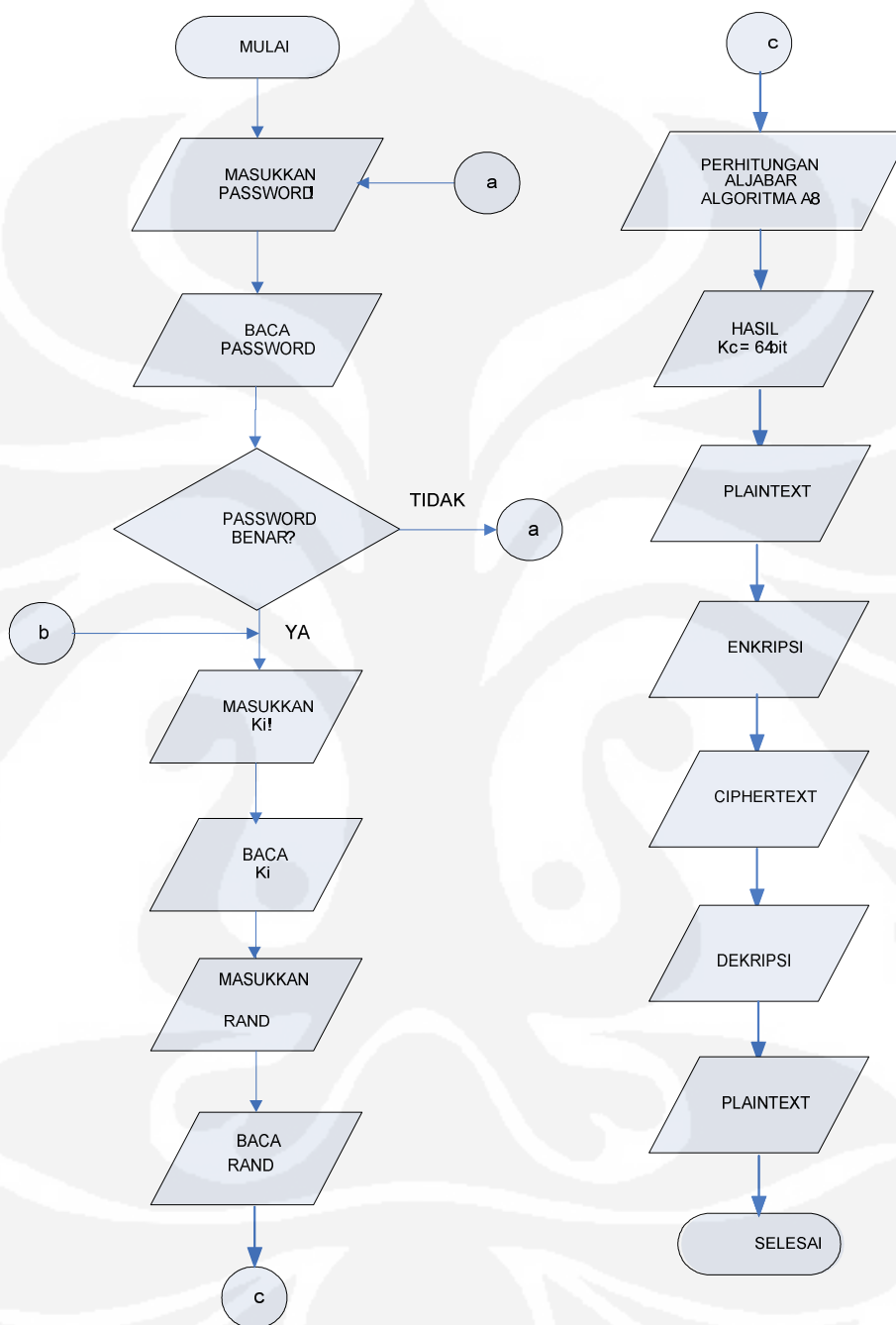
Pada Gambar 3.1 di bawah ini menunjukkan diagram alir dari proses pembangkitan kunci Kc awal hingga proses enkripsi dan dekripsi informasi. Dimana sistem menggunakan password sebagai PIN awal digunakannya simulasi, serta membutuhkan masukan berupa data hexadesimal sebesar 32 byte yang terdiri dari nilai data Ki dan RAND. Dan pada diagram alir tersebut, awal pertama simulasi memerlukan password yang benar sesuai dengan yang telah diprogramkan oleh user.

Kemudian dilanjutkan dengan permintaan untuk memasukkan nilai data Ki sebesar 32 *byte hexadecimal* dilanjutkan dengan memasukkan nilai data RAND sebesar 32 *byte hexadecimal* . Format tersebut diubah ke dalam byte untuk dapat dilakukan perhitungan dalam algoritma. Perancangan software tidak hanya melingkupi pada sisi pembangkitan kunci *ciphering key*, juga dilakukan proses tahap selanjutnya, yaitu dengan enkripsi data informasi yang dikirim, diubah menjadi acak dengan memanfaatkan kunci Kc *ciphering key* hingga dihasilkannya *ciphertext*.

Kemudian dalam proses *ciphering* ini, maka data informasi dikirim ke MS melalui MSC, di mana data informasi tersebut tidak langsung diterima oleh MS tujuan, karena data informasi tersebut masih dalam kondisi acak oleh algoritma A5 dengan masukan kunci *ciphering key* tersebut di atas.

Setelah di acak, maka data informasi tersebut di atas akan dikembalikan ke kondisi semula yaitu dalam kondisi di mana data informasi tersebut belum dikirim. Gambar 3.1 menunjukkan keseluruhan proses awal hingga akhir sistem.

Pada Gambar 3.1 Diagram alir di bawah ini, *plaintext* yang dikirim merupakan data awal yang nantinya akan dilakukan perhitungan dengan kunci *ciphering key*.



**Gambar 3.1** Diagram Alir Proses Kc dan Pengamanan Komunikasi

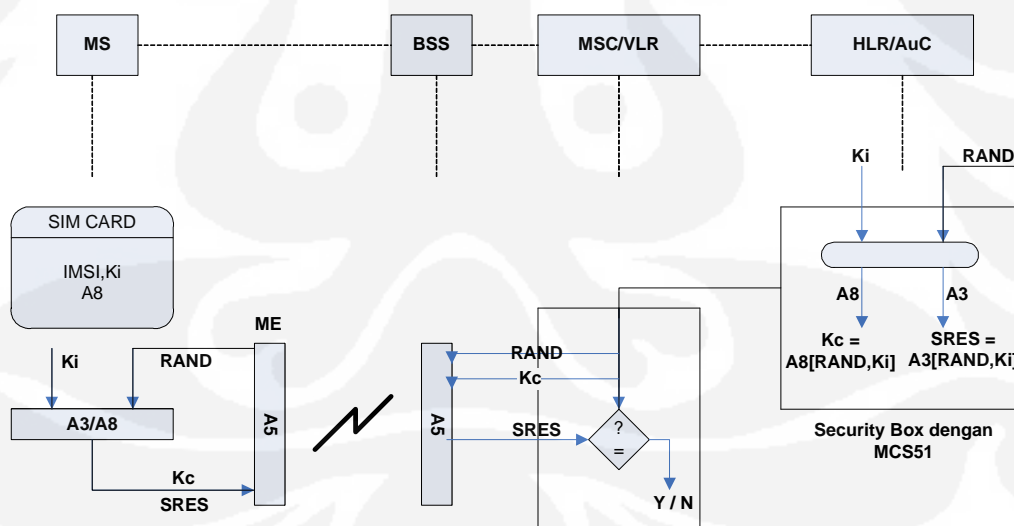
Pada Gambar 3.1 tersebut di atas, alur kerja sistem pembangkitan *chipering key* Kc harus menghasilkan kapasitas kunci sebesar 64 bit. Sedangkan untuk dapat

menghasilkan kunci  $K_c$  *ciphering key* dengan memasukkan data  $K_i$  dan  $RAND$  masing-masing 128 bit ke dalam simulasi program.

Data 128 bit dapat diubah dari hexadesimal ke dalam bentuk byte. Kemudian akan dihitung apakah nilai  $K_i$  dan  $RAND$  itu sama dengan 128 bit *fixed*. Bila tidak maka program akan *error* hingga besarnya kapasitas  $K_i$  dan  $RAND$  mencapai 128 bit. Proses pembangkitan kunci *ciphering key* menggunakan algoritma A8 sedangkan proses pengacakan data informasi menggunakan

### 3.1.2 Diagram Blok

Software ini dirancang dengan menggunakan perhitungan algoritma A8. Di mana membutuhkan masukan  $K_i$  dan  $RAND$  sebagai proses awal dari komputasi ini. Pada rancang bangun software simulasi proses pembangkitan kunci *chipering key*  $K_c$  sebesar 64 bit ini membutuhkan masukan  $K_i$  128 bit dan  $RAND$  128 bit. Pada Gambar 3.2 di bawah ini, diperlihatkan bagian-bagian dari proses keamanan komunikasi GSM.

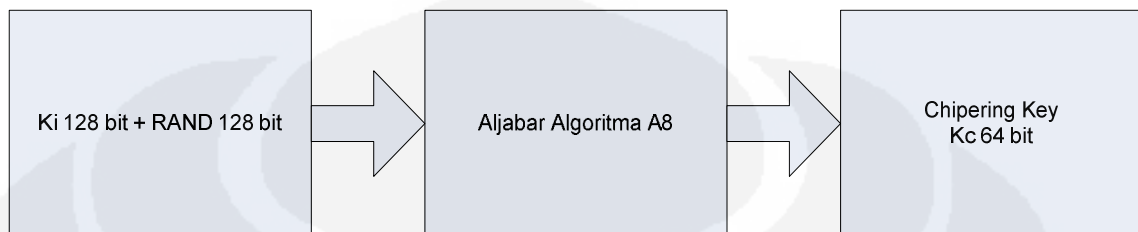


**Gambar 3.2** Proses Keamanan Komunikasi GSM

Pada Gambar 3.3 tersebut di bawah ini, seluruh masukan  $K_i$  dan  $RAND$  dalam proses simulasi akan diubah menjadi bilangan data desimal dari format data hexadesimal. Agar dapat digunakan parameter-parameter persamaan untuk



komputasi data atau perhitungan data dalam proses kompresi hingga lima *level* serta dilanjutkan dengan proses permutasi dari hasil akhir data yang telah dikompresi. Dengan demikian akan terbangkitnya kunci Kc.



**Gambar 3.3** Blok Urutan Pembangkitan Kc

Pada Gambar 3.3 tersebut di atas, dijelaskan bahwa algoritma A8 dengan masukan Ki dan RAND dapat diproses pada blok aljabar A8, yang mana tahap ini adalah tahap awal untuk mendapatkan *chiper key* Kc. Data bit Ki dan RAND sebagai input diurutkan untuk bisa menjadi 256 bit data biner, seperti yang diperlihatkan pada Gambar 3.4 di bawah ini.

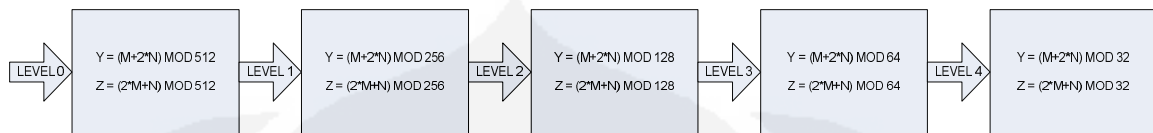


**Gambar 3.4** Blok Diagram Algoritma Aljabar A8

Pada Gambar 3.4 tersebut di atas diperlihatkan bahwa Ki dengan 128 bit data beserta RAND yang juga sama sebesar 128 bit data dimasukkan secara urut dalam bentuk data biner bit yang bila dijumlahkan menjadi 256 bit data biner. Kemudian data 256 bit ini dikompresi hingga 128 bit atau 32 byte. Dan data 128 bit ini dipermutasi menggunakan rumus hingga diperoleh *chiper key* Kc 64 bit.

Pada blok kompresi, data 256 bit yang sudah dimasukkan, akan melalui beberapa tahapan atau *level*. Tahapan yang pertama hingga ke lima menggunakan rumus  $Y = (M + 2 * N) \text{ MOD } n$  yang dilanjutkan dengan urut  $Z = (2 * M + N) \text{ MOD } n$ . Rumus Y dan Z adalah pasangan rumus yang selalu digunakan pada setiap *looping* dari bit 0 hingga

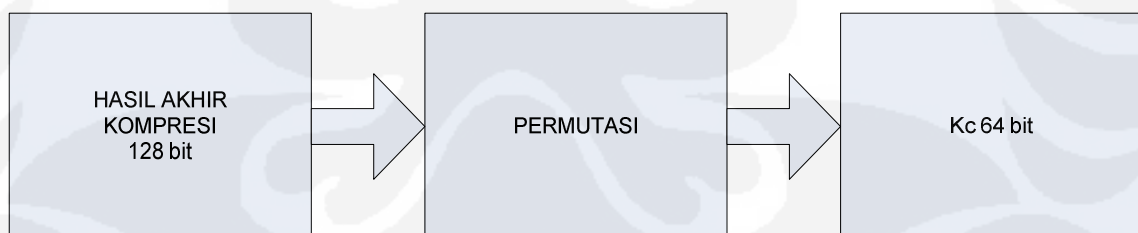
7 pada matrix  $X[0]$  hingga  $X[31]$ . Gambar 3.5 memperlihatkan tahapan level kompresi.



**Gambar 3.5** Tahapan Level Kompresi A8

Pada Gambar 3.5 tersebut di atas, terdapat lima tahap kompresi data 256 bit  $K_i$  dan Rand, dengan tahapan level untuk modulus 512, 256, 128, 64 dan 32 diberikan kepada setiap rumus  $Y$  dan  $Z$ . Rumus  $Y = (M+2*N) \text{ modulus } n$  (3.1) dan rumus  $Z = (2*M+N) \text{ modulus } n$  (3.2) dimana untuk nilai  $n$  adalah berurutan untuk setiap *looping* 0 sampai 7 yaitu modulus 512, 256, 128, 64 dan 32. Dan hasil akhir setelah memasuki tahap *level* ke lima dengan modulus 32, maka total bit  $K_i$  dan RAND yang sudah diproses akan berjumlah 128 bit dari 256 bit yang masuk.

Setelah *level* ke lima selesai, maka data sebesar 128 bit ini akan diproses pada blok permutasi. Seperti pada Gambar 3.6 di bawah ini.



**Gambar 3.6** Proses Akhir 128 bit Hasil Kompresi

Pada Gambar 3.6 tersebut di atas diketahui bahwa hasil akhir kompresi 128 bit akan dilakukan proses permutasi, di mana seluruh bit 128 diurutkan dari 0 hingga 127 yang akan dihitung dengan aljabar permutasi dengan memasukkan rumus :

$$j = [0\dots31]$$

$$i = [0\dots7]$$

$$Y_n = [8*j[x] + i]*17 \text{ modulus } 128 \quad (3.3)$$

Gambar 3.7 di bawah ini menunjukkan proses akhir dari pembangkitan *chipering key* Kc untuk tahapan setelah proses permutasi di atas. Untuk mendapatkan Kc, maka dipilihlah 4 bit lsb (*least Significant bit*) dari 1 *byte* .

X[0...31]							
0	17	34	51	68	85	102	119

**Gambar 3.7** Pengambilan bit Lsb

Pada Gambar 3.7 tersebut di atas, diambil 4 bit dari sebelah kanan, pada urutan 68;85;102 dan 119. Kemudian urutan tersebut diperlukan untuk melakukan pengambilan bit dari 0...127 bit akhir kompresi, seperti Gambar 3.12 di bawah ini.

Pada Gambar 3.8 di bawah ini, diperlihatkan ketukan bit yang diambil berdasarkan pada persamaan (3.3) dalam tahap permutasi.

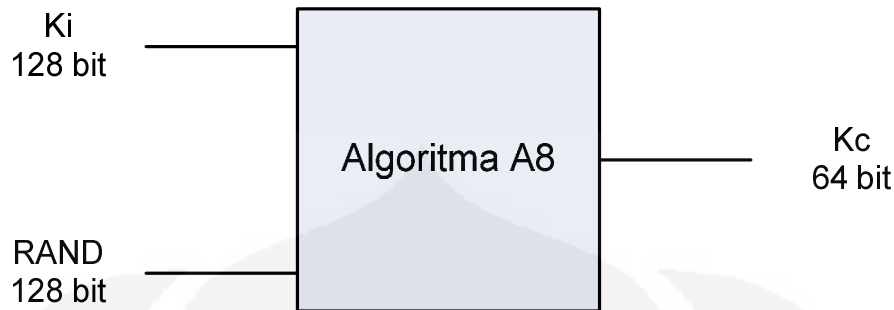
68	85	102	119
0	0	0	1

**Gambar 3.8** Proses pengambilan data

Pada Gambar 3.8 tersebut di atas, proses pengambilan data bit 0 sampai 128 didasarkan pada bilangan yang sudah di dapat yaitu 68; 85; 102 dan 119. Dan hal ini terus dilakukan hingga X[31]. Dengan demikian akan didapatlah hasil akhir *chipering key* sebesar 64 bit atau 8 *byte*.

### 3.1.3 Algoritma

Dari rangkaian Gambar 3.9 di bawah ini, adalah rangkaian sistem pembangkitan kunci *ciphering key* menggunakan algoritma A8.



**Gambar 3.9.** Algoritma A8 Untuk Proses Pembangkitan Kunci Kc

Pada Gambar 3.9 tersebut di atas setiap level kompresi pada menghasilkan byte tergantung dari kedua masukan byte sebelumnya dengan rumusan :

$$X = (Z [m] + 2 * Z [n]) \bmod 2^{(9-j)} [13] \dots \dots \dots (3.4)$$

$$Y = (2 * Z [m] + Z [n]) \bmod 2^{(9-j)} [13] \dots \dots \dots (3.5)$$

$$Z [m] = T_j [X]$$

$$Z [n] = T_j [Y]$$

Dimana :

X = Elemen data baru sisi kiri

Y = Elemen data baru sisi kanan

Z [m] = Elemen dari Ki (*Individual Subscriber Authentication Key*) sebesar maksimal 128 bit

Z [n] = Elemen dari Rand (*Random Number*) sebesar maksimal 128 bit

j = Level kompresi data (Memiliki 5 level kompresi data)

- Kedua masukan byte digunakan untuk menentukan index dari *lookup table*, masukan *lookup table* akan digunakan untuk memperbaharui hasil byte
- *Lookup table* digunakan oleh level i sebagai table  $T_i$  dan berisi  $2^{9-i}$  dari nilai 8-i bit, contohnya dapat diketahui pada table 3.1 di bawah ini.

Pada Tabel 3.1 di bawah ini ditunjukkan mengenai tabel kompresi yang dapat dilakukan panggilan untuk setiap nilai yang akan disubstitusikan oleh masing-masing tabel, sesuai dengan level pada saat itu.

**Table 3.1** Hasil data kompresi menggunakan *Butterfly structure*

Level	Nama Table	Jumlah Masukan	Nilai
1	Tab512	$2^9 = 512$	(9-i) Value = 8 bit
2	Tab256	$2^8 = 256$	(8-i) Value = 7 bit
3	Tab128	$2^7 = 128$	(7-i) Value = 6 bit
4	Tab64	$2^6 = 64$	(6-i) Value = 5 bit
5	Tab32	$2^5 = 32$	(5-i) Value = 4 bit

Setelah dilakukan proses pembangkitan kunci  $K_c$ , maka akan diteruskan kepada proses pengacakan informasi dengan algoritma A5 sehingga, data informasi tidak dapat disadap oleh intruder, seperti yang ditunjukkan pada Gambar 3.10 di bawah ini.

**Gambar 3.10** Algoritma A5 Untuk Proses Acak Data

Dari Gambar 3.10 tersebut di atas, *plaintext* akan dikombinasikan dengan Kunci  $K_c$  dalam proses enkripsi dan dekripsi yang mana keseluruhannya diperoleh dalam perhitungan A5.

Persamaan yang digunakan dalam perhitungan algoritma A5 adalah sebagai berikut.

$$A \oplus B = C \dots\dots\dots (3.6)$$

$$C \oplus B = A \dots\dots\dots (3.7)$$

Dari persamaan (3.6) dan (3.7) di atas, *ciphering key* B yang sudah dihasilkan oleh algoritma A8, dilakukan perhitungan kembali terhadap *plaintext* A. Hasil perhitungan pertama merupakan *cciphertext* C. Kemudian data dikirim dalam bentuk acak atau data telah ter-*cipher* untuk tidak bisa disadap oleh para intruder. Kemudian pada saat data sampai kepada MS tujuan, maka informasi dalam bentuk *ciphertext* C akan

diubah kembali menjadi *plaintext* A bila dilakukan perhitungan kembali terhadap kunci *ciphering key*.

### 3.1.4 Prosedural Program

Dengan mengacu pada diagram alir dari Gambar 3.1, terdapat tiga tahap utama dalam proses pembangkitan Kc dan enkripsi, yaitu tahap inisialisasi awal, dimana user diminta untuk memasukkan PIN sebagai bentuk keabsahan pemilikan SIM Card, setelah itu menuju proses tahapan perhitungan Ki dan RAND oleh algoritma A8 yang akan menghasilkan kunci Kc *ciphering key*, dan terakhir adalah tahap enkripsi dekripsi dengan menggunakan algoritma A5.

Tahapan - tahapan tersebut adalah sebagai berikut :

#### 3.1.4.1 PIN (*Personal Identity Number*)

*a* = password  
*b* = baca password  
 jika *a* = *b*  
     jalankan program berikut  
 jika *a* ≠ *b*  
     tampilkan “masukkan password yang benar”  
 selesai

#### 3.1.4.2 Algoritma A8

*c*, input Ki  
*d*, input RAND  
 tampilkan “ level1”  
 tampilkan *y*, [ab bc cd de ef fg gh hi ij kl lm mn no op pq]  
 tampilkan *x*, [aab bbc ccd dde eef ffg ggh hhi iij jkk lll mmm nno oop ppq]  
 tampilkan “lookup Tab512”  
*lyy1*, Tab512(*ab*)  
 tampilkan *lxx*, [*lxx1*, *lxx2*, *lxx3*, *lxx4*, *lxx5*, *lxx6*, *lxx7*, *lxx8*, *lxx9*, *lxx10*, *lxx11*, *lxx12*, *lxx13*,  
*lxx14*, *lxx15*, *lxx16*]  
 tampilkan “level kedua”  
*level1* = [*lyy*; *lxx*]  
*dy1*, *lyy1* + 2 \* *lxx1* ;,  
 tampilkan “lookup Tab256”  
*dlyy1*, Tab256(*dyy1* + 2);, *dlyy2*, Tab256(*dyy2* + 2);, *dlyy3*, Tab256(*dyy3* + 2);,  
*dlyy4*, Tab256(*dyy4* + 2);, *dlyy5*, Tab256(*dyy5* + 2);, *dlyy6*, Tab256(*dyy6* + 2);,  
*dlyy7*, Tab256(*dyy7* + 2);, *dlyy8*, Tab256(*dyy8* + 2);, *dlyy9*, Tab256(*dyy9* + 2);,

Universitas Indonesia

*dlyy10,Tab256(dyy10+2);, dlyy11,Tab256(dyy11+2);, dlyy12, Tab256(dyy12+1);, dlyy13,Tab256(dyy13+2);, dlyy14,Tab256(dyy14+2);, dlyy15 , Tab256(dyy15+2);, dlyy16,Tab256(dyy16+2);*  
*tampilkan “hasil level kedua’*  
*dlyy , [dlyy1 dlyy2 dlyy3 dlyy4 dlyy5 dlyy6 dlyy7 dlyy8 dlxx1 dlxx2 dlxx3 dlxx4 dlxx5 dlxx6 dlxx7 dlxx8];*  
*dlxx , [dlyy9 dlyy10 dlyy11 dlyy12 dlyy13 dlyy14 dlyy15 dlyy16 dlxx9 dlxx10 dlxx11 dlxx12 dlxx13 dlxx14 dlxx15 dlxx16];*  
*tampilkan ‘level ketiga’*  
*lev3,[dlyy1 dlyy2 dlyy3 dlyy4; dlyy5 dlyy6 dlyy7 dlyy8; dlxx1 dlxx2 dlxx3 dlxx4; dlxx5 dlxx6 dlxx7 dlxx8;dlyy9 dlyy10 dlyy11 dlyy12; dlyy13 dlyy14 dlyy15 dlyy16;dlxx9 dlxx10 dlxx11 dlxx12; dlxx13 dlxx14 dlxx15 dlxx16]*  
*tampilkan ‘hasil level ke tiga’*  
*ty,[tyy1 ty2 ty3 ty4 txx1 txx2 txx3 txx4 ty5 ty6 ty7 ty8 txx5 txx6 txx7 txx8]*  
*tx,[tyy9 ty10 ty11 ty12 txx9 txx10 txx11 txx12 ty13 ty14 ty15 ty16 txx13 txx14 txx15 txx16]*  
*tampilkan ‘lookup Tab128’*  
*tlyy1 , Tab128(tyy1+1);, tlyy2 , Tab128(tyy2+1);, tlyy3 , Tab128(tyy3+1);, tlyy4 , Tab128(tyy4+1);, tlyy5 , Tab128(tyy5+1);, tlyy6 , Tab128(tyy6+1);, tlyy7 , Tab128(tyy7+1);, tlyy8 ,*  
*tampilkan ‘Hasil Lookup Tab128’*  
*tlyy , [tlyy1 tlyy2 tlyy3 tlyy4 tlxx1 tlxx2 tlxx3 tlxx4 tlyy5 tlyy6 tlyy7 tlyy8 tlxx5 tlxx6 tlxx7 tlxx8]*  
*tlxx , [tlyy9 tlyy10 tlyy11 tlyy12 tlxx9 tlxx10 tlxx11 tlxx12 tlyy13 tlyy14 tlyy15 tlyy16 tlxx13 tlxx14 tlxx15 tlxx16]*  
*tampilkan “level kelima”*  
*tampilkan “hasil level keempat”*  
*ey,[eyy1 eyy2 eyy3 eyy4 exx1 exx2 exx3 exx4 eyy5 eyy6 eyy7 eyy8 exx5 exx6 exx7 exx8]*  
*ex,[eyy9 eyy10 eyy11 eyy12 exx9 exx10 exx11 exx12 eyy13 eyy14 eyy15 eyy16 exx13 exx14 exx15 exx16]*  
*tampilkan “lookup table 64*  
*elyy1 , Tab64(eyy1+1);, elyy2 , Tab64(eyy2+1);, elyy3 , Tab64(eyy3+1);, elyy4 , Tab64(eyy4+1);, elyy5 , Tab64(eyy5+1);, elyy6 , Tab64(eyy6+1);, elyy7 , Tab64(eyy7+1);, elyy8 , Tab64(eyy8+1);, elyy9 , Tab64(eyy9+1);, elyy10 ,*  
*tampilkan “Hasil Lookup Tab64”*  
*elyy , [elyy1 elyy2 elxx1 elxx2 elyy3 elyy4 elxx3 elxx4 elyy5 elyy6 elxx5 elxx6 elyy7 elyy8 elxx7 elxx8 ]*  
*elxx , [elyy9 elyy10 elxx9 elxx10 elyy11 elyy12 elxx11 elxx12 elyy13 elyy14 elxx13 elxx14 elyy15 elyy16 elxx15 elxx16]*  
*Tampilkan “level kelima”*  
*lev5 , [elyy1; elyy2; elxx1; elxx2; elyy3; elyy4; elxx3; elxx4; elyy5; elyy6; elxx5; elxx6; elyy7; elyy8; elxx7; elxx8; elyy9; elyy10; elxx9; elxx10; elyy11; elyy12; elxx11; elxx12; elyy13; elyy14; elxx13; elxx14; elyy15; elyy16; elxx15; elxx16]*  
*Tampilkan ”hasil rumus level ke lima”*  
*Tampilkan “lookup table 32”*  
*Llyy1 , Tab32(Lyy1+1);*  
*Tampilkan “Hasil Lookup Tab32”*

*Llyy* , [*Llyy1 Llxx1 Llyy2 Llxx2 Llyy3 Llxx3 Llyy4 Llxx4 Llyy5 Llxx5 Llyy6 Llxx6*  
*Llyy7 Llxx7 Llyy8 Llxx8* ];  
 Tampilkan "hasil kompresi akhir"  
 Kompres , [*Llyy1 Llxx1 Llyy2 Llxx2 Llyy3 Llxx3 Llyy4 Llxx4 Llyy5 Llxx5 Llyy6*  
*Llxx6 Llyy7 Llxx7 Llyy8 Llxx8 Llyy9 Llxx9 Llyy10 Llxx10 Llyy11 Llxx11 Llyy12*  
*Llxx12 Llyy13 Llxx13 Llyy14 Llxx14 Llyy15 Llxx15 Llyy16 Llxx16*];  
 tampilkan "permutasi"  
 tampilkan "ketukan untuk setiap bit level kompresi akhir"  
 tampilkan "hasil pemrmutasi"

#### 3.1.4.3 Algoritma A5

tampilkan "proses enkripsi dekripsi"  
 tampilkan "nilai ciphering key"  
 Tampilkan "Kc"  
 Kc2, ubah Kc ke desimal  
 $hc, \text{mod}(Kc2, 127)$ ;  
 tampilkan "Informasi Yang Dikirim"  
 info, masukkan data  
 tampilkan "Nilai Kc"  
 desimal,  $\text{double}(\text{info})$ ;  
 enkrip,  $\text{xor}(\text{decimal}, Kc)$ ;  
 ciphertext, tampilkan plaintext enkripsi  
 dekripsi,  $\text{xor}(\text{enkripsi}, Kc)$ ;  
 plaintext , tampilkan plaintext enkripsi

### 3.2 PERANCANGAN *HARDWARE*

Sistem perangkat keras (*hardware*) pada sistem ini dapat dibagi menjadi 3 bagian, yaitu bagian sistem pengolah informasi, bagian sistem simulasi, dan bagian sistem penampil (*display*). Masing-masing bagian sistem tersebut terdapat beberapa komponen pendukung dimana komponen pendukung tersebut mempunyai fungsi menurut bagiannya sendiri-sendiri.

#### 3.2.1 Rangkaian Catu Daya

Power Supply yang dirancang untuk sistem kerja alat ini menggunakan trafo CT 1 Ampere, sebagai pengaman juga digunakan fuse pada sisi trafo, sehingga apabila ada masalah pada sistem maka akan otomatis memutuskan supply untuk mencegah kerusakan pada sisi lilitan maupun rangkaian penyearah.



Tegangan output regulator 12VDC dan 9 VAC dihasilkan oleh catu daya pada Gambar 3.11 di atas. Untuk tegangan 12 VDC digunakan untuk memberikan supply pada kipas sebagai pendingin, sedangkan tegangan 9 VAC digunakan untuk supply pada minimum sistem DT-51, karena pada modul DT-51 sudah memiliki sistem catu yang mengubah 9 VAC menjadi regulator 5 volt dc sehingga tegangan pada modul tersebut menjadi stabil walau tegangan inputnya naik turun.

### 3.2.2 Minimum Sistem DT-51

Mikrokontroler yang digunakan pada modul minimum sistem DT-51 Ver. 3. 3, menggunakan mikrokontroler tipe AT89S52. Memori eksternal RAM dengan kapasitas memory 64 Kbyte (28HC64) dan PPI 8255 (*Programmable Peripheral Interface*). Pada PPI 8255 ini terdapat 4 *Port* sebagai *interface* data bus. Ke-empat *port* tersebut adalah:

- a. *Port A*, port ini digunakan sebagai *output* (*address* 2000H)
- b. *Port B*, port ini digunakan sebagai *input* (*address* 2001H)
- c. *Port C* dan *Port 1* digunakan sebagai *output* (*address* 2002H)
- d. *Port Control Word Register* (2003H)

Dengan penjelasan sebagai berikut :

- a. *Port A*, port ini digunakan sebagai *output* ( *address* 2000H)

#### **Out &H2000 , A1**

A1 merupakan *register* yang digunakan untuk mengeluarkan aplikasi pada *keypad*. Penggunaan *address* 2000H untuk mengaktifkan *port A* sebagai *output* pada *keypad* matriks 4x4, sehingga *keypad* tersebut dapat berfungsi sebagai *output* kolom data untuk masukan data simulasi.

- b. *Port B*, port ini digunakan sebagai *input* (*address* 2001H)

#### **B1 = Inp(&H2001)**

B1 merupakan *register* yang digunakan untuk memberikan masukan aplikasi pada *keypad*. Penggunaan *address* 2001H adalah untuk mengecek bit data pada *port B*

sebagai *input* tombol dari *keypad* matriks 4x4, sehingga *keypad* tersebut dapat mampu membaca baris data pada *keypad*.

- c. *Port C* dan *Port 1* digunakan sebagai *output* (address 2002H)

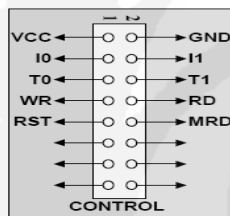
Penggunaan *port C* ini untuk mengeluarkan semua simulasi sensor dari *keypad* matriks 4x4 jika ada penambahan *output* simulasi berupa buzzer atau led.

- d. *Port Control Word Register* (2003H)

Fungsi *port* ini untuk mengaktifkan *keypad* pada posisi Write, sehingga *keypad* bisa difungsikan sebagai *input*.

Misal : **Out &H2003 , &B10000010**

Ini berarti 8 bit yang difungsikan yaitu 10000010 bit referensi untuk mengaktifkan fungsi *port* pada kondisi 'write'. Bit ke -7 merupakan bit control untuk kondisi 'write'. Dimana diagram *port control* dapat dilihat pada Gambar 3.2.



**Gambar 3.12** Diagram *port control* [9]

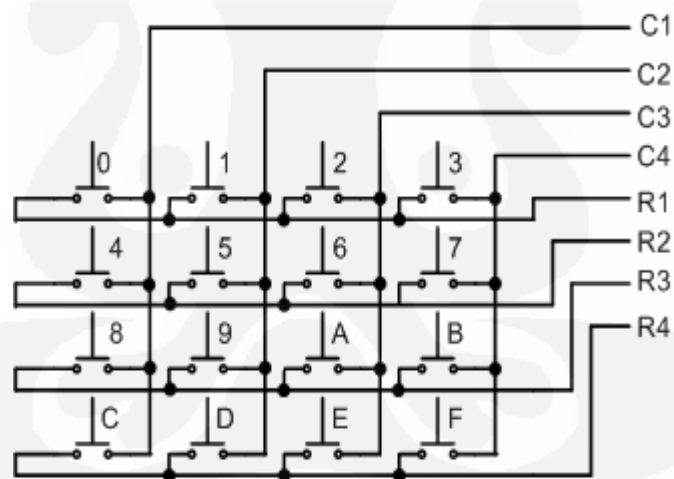
Di samping terdapat PPI 8255 (*programmable Peripheral Interface*), modul DT-51 juga memiliki RAM eksternal 28HC64 untuk penyimpanan data, selain bisa disimpan pada memory internal (0000H – 1FFFH) juga dapat disimpan pada memory eksternal (6000H – FFFFH). Dengan adanya memory eksternal ini maka dapat memudahkan penyimpanan data sementara (*temporary data storage*) pada pemrograman BASCOM IDE 8051. Penyimpanan data sementara dapat berupa data bit, byte, word, dan integer. Ukuran dari data tersebut adalah, bit memiliki ukuran data 0 dan 1, byte memiliki ukuran data 0 – 255, word memiliki ukuran data 0- 2047, integer memiliki ukuran data -32767 - +32768.

### 3.2.3 Perangkat *Input* Simulasi

Perangkat input simulasi terdiri dari beberapa perangkat pendukung, yang bertujuan memberikan masukan berupa data Ki dan RAND ke program kopmutasi data. Adapun perangkat pendukung digunakanlah keypad.

### 3.2.3.1 Keypad

Keypad yang digunakan adalah keypad matriks 4x4. Keypad pada sistem ini memiliki fungsi sebagai input data password dan input data untuk simulasi sensor. Perancangan program keypad untuk simulasi ini adalah dengan metode 'grounding', maksudnya adalah bit akan dalam kondisi '0' ketika tombol keypad tersebut ditekan. Hal ini dilakukan karena pin-pin dari port PPI sudah dalam kondisi high atau kondisi '1' sebelumnya sehingga nilai dari semua port pada PPI tersebut adalah 255 ( FFH = 11111111 ). Sehingga dengan menggunakan metode grounding akan memudahkan pengecekan bit-bitnya.



Gambar 3.13 Hubungan keypad 4X4

### 3.2.3.2 Perangkat *Output* Simulasi

Fungsi dari perangkat output simulasi adalah menampilkan setiap hasil dari perubahan kondisi yang terjadi baik saat kondisi simulasi belum berjalan (masih

dalam kondisi password belum dibuka) maupun kondisi simulasi telah dijalankan (SRes mampu ditampilkan). Perangkat penampil informasi yang lazim digunakan adalah LCD (*Liquid Crystal Display*)

### 3.2.3.2.1 LCD (*Liquid Crystal Display*)

Pada perancangan untuk alat ini, LCD (*Liquid Crystal Display*) yang digunakan adalah LCD dengan ukuran 2x16 karakter. Semua pin-pin dari LCD (*Liquid Crystal Display*) tersebut harus terkoneksi dengan tepat pada modul DT-51. Kemudahan dari Modul ini adalah telah disediakan port khusus untuk semua pin dari LCD, sehingga hal ini mampu mengurangi kesalahan dalam pemasangan pin-pin dari LCD. Pada sistem ini LCD (*Liquid Crystal Display*) difungsikan sebagai *output* untuk menampilkan semua instruksi-instruksi dan informasi yang berkaitan dengan sistem kerja alat ini, sehingga dengan adanya LCD ini tidak terjadinya kesalahan prosedur dalam pengaplikasiannya.

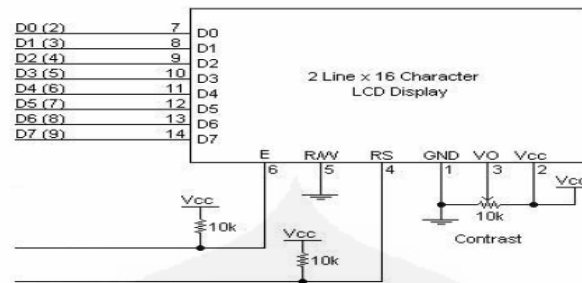
Hal-hal yang berkaitan dengan fungsi kerja dari LCD ini antara lain:

- a. Menampilkan semua input dari keypad baik berupa data password maupun berupa data input simulasi.
- b. Menampilkan informasi berupa status proses pencarian nilai triplet-triplet autentikasi.
- c. Menampilkan proses komputasi dan output proses komputasi.

Adapun fitur yang disajikan dalam LCD ini adalah:

- a. Terdiri dari 16 karakter dan 2 baris
- b. Mempunyai 192 karakter tersimpan
- c. Terdapat karakter generator terprogram
- d. Dapat dialamati dengan mode 8-bit dan 4-bit
- e. Dilengkapi dengan *backlight*

Pada Gambar 3.14 di bawah ini, LCD ini terdiri dari 8 jalur data, 3 jalur kendali dan fasilitas pengaturan kontras serta *backlight*. LCD ini dapat dikendalikan dengan mikrokontroler atau mikroprosesor.



**Gambar 3.14** LCD 16x2 [13]

Deskripsi fungsi-fungsi pin dari penampil LCD (*Liquid Crystal Display*) ini adalah:

- a. VSS, sebagai suplai 0 volt atau ground.
- b. VDD, sebagai suplai input untuk LCD (5 volt).
- c. VO, sebagai tegangan operasi untuk LCD atau pengaturan kontras layer.
- d. RS, sebagai jalur data dan penghantar kode instruksi. (H: DATA, L: kode instruksi).
- e. R/W, sebagai jalur baca-tulis data ke mikroprosesor.
- f. E, sebagai sinyal *enable* bagi *chip*.
- g. DB0-DB7, sebagai data bit 0 sampai dengan data bit 7.

## BAB 4

### UJI COBA DAN ANALISIS

#### 4.1 PROSEDUR SIMULASI

Uji coba simulasi ini dilakukan dengan tujuan untuk menganalisis karakteristik unjuk kerja pada rancangan algoritma A8 dalam proses pembangkitan kunci Kc dan enkripsi maupun dekripsi.

Uji coba simulasi ini terdiri dari dua bagian uji karakteristik unjuk kerja yaitu

- Uji karakteristik unjuk kerja algoritma A8.
- Uji karakteristik unjuk kerja proses pembangkitan Kc terhadap usaha intruder dalam menyadap informasi.

Struktur perangkat model simulasi terdiri dari mikrokontroler AT9S52, yang berfungsi sebagai pensimulasi penghitungan proses *chipering key generate*.

Tahap awal yang harus dilakukan adalah menentukan nilai Ki (yang di simulasikan dengan masukan dari keypad) sebesar maksimal 16 byte apabila kurang dari 16 byte algoritma tidak bisa melakukan proses simulasi komputasi ke langkah berikutnya. Sesaat setelah akses dilakukan, proses autentikasi segera dilaksanakan.

Pengolahan Algoritma A8 dijalankan dengan beberapa tahapan;

1. Tahap pertama, melakukan kompresi data Ki dan RAND hingga lima level kompresi dengan demikian maka nilai level terakhir menghasilkan nilai bit yang semakin sederhana.
2. Tahap kedua, algoritma A8 menjalankan proses pembentukan matrik untuk permutasi dari hasil perubahan byte menjadi bit dari hasil kompresi nilai data ke lima level menjadi nilai bit.
3. Tahap ketiga, bit-bit yang dihasilkan dari nilai data kelima level akan membentuk matrik-matrik baru untuk dilakukan proses permutasi dengan mode yang telah dihitung, sehingga akan menghasilkan Kc sebesar 64 bit.

## 4.2 HASIL UJI COBA SIMULASI DAN ANALISIS

### 4.2.1 Karakteristik Unjuk Kerja Algoritma A8 dan Analisis

Uji coba karakteristik unjuk kerja dari rancangan algoritma A8 dilakukan untuk mengetahui jumlah kapasitas keluaran yang digunakan dari kedua masukan.

Untuk itu, maka uji coba dilakukan dengan menggunakan beberapa Ki yang berbeda nilainya satu sama lain.

4.2.1.1. Unjuk kerja algoritma A8 berdasarkan perhitungan menggunakan PC berbasis program tertentu.

#### DATA PERCOBAAN 1

Pada Tabel 4.1 di bawah ini, dilakukan proses pengubahan atau konversi format hexadecimal.

**Tabel 4.1** Konversi Desimal ke Hexadesimal

No.	Ki	RAND
1	20 20 22 2D 22 17 C 20 22 C 22 C 38 43 43 43	C C 17 2D 41 4C 57 62 2B 2B 36 41 4C 57 62 20
2	22 23 23 20 17 41 21 2D 43 C 22 37 43 58 62 21	22 2B 36 38 43 57 62 15 20 22 36 41 56 36 57 62
3	C 17 22 2D 38 43 4E 59 5A 62 57 4C 41 36 2B 20	1F 20 2B 36 20 36 41 4C 20 2D 41 17 2D 42 4E 63
4	22 20 38 43 22 2D 38 17 22 2D 38 4E 59 57 57 41	C 17 2B 2D 41 4C 57 62 C D E E 36 20 41 4C
5	20 22 15 40 20 4B 56 20 37 15 41 57 61 61 17 C	20 22 15 40 20 4B 56 20 37 15 41 57 61 61 17 C
6	22 36 2B 4C 58 5A 15 20 62 41 2B 62 57 2B 20 2B	22 2D 38 43 22 2D 38 17 22 2D 38 4E 59 57 57 41
7	C 17 2B 2D 41 4C 57 62 C D E E 36 20 41 4C	22 2D 38 43 22 2D 38 17 22 2D 38 4E 59 57 57 41
8	1F 20 2B 36 20 36 41 4C 20 20 41 17 2D 42 4E 63	22 23 23 2D 17 41 21 2D 43 C 22 37 43 58 62 21
9	22 2B 36 28 43 57 62 15 20 22 36 41 56 36 57 62	2D 2D 22 2D 22 17 C 20 22 C 22 C 38 43 43 43
10	C C 17 2D 41 4C 57 62 2B 2B 36 41 4C 57 62 20	22 36 2B 4C 58 5A 15 20 62 41 2B 62 57 2B 20 2B

Pada Tabel 4.2 di bawah, diperlihatkan bahwa seluruh input Ki maupun RAND diubah ke dalam bentuk desimal untuk bisa dihitung dengan mudah menggunakan algoritma A8 berbasis PC.

Tabel 4.2 di bawah ini diperlihatkan hasil komputasi dari bermacam-macam Ki dan RAND yang berbeda diubah dalam bentuk desimal.

**Tabel 4.2** Uji Coba Ki dan RAND Berubah.

No	Ki	RAND
1	45 45 34 45 34 23 12 32 34 12 34 12 56 67 67 67	12 12 23 45 65 76 87 98 43 43 54 65 76 87 98 32
2	34 35 35 45 23 65 33 45 67 12 34 55 67 88 98 33	34 43 54 56 67 87 98 21 32 34 54 65 86 54 87 98
3	12 23 34 45 56 67 78 89 90 98 87 76 65 54 43 32	31 32 43 54 32 54 65 76 32 45 65 23 45 66 78 99
4	34 45 56 67 34 45 56 23 34 45 56 78 89 87 87 65	12 23 43 45 65 76 87 98 12 13 14 14 54 32 65 76
5	32 34 21 64 32 75 86 32 55 21 65 87 97 97 23 12	32 34 21 64 32 75 86 32 55 21 65 87 97 97 23 12
6	34 54 43 76 88 90 21 32 98 65 43 98 87 43 32 43	34 45 56 67 34 45 56 23 34 45 56 78 89 87 87 65
7	12 23 43 45 65 76 87 98 12 13 14 14 54 32 65 76	34 45 56 67 34 45 56 23 34 45 56 78 89 87 87 65
8	31 32 43 54 32 54 65 76 32 45 65 23 45 66 78 99	34 35 35 45 23 65 33 45 67 12 34 55 67 88 98 33
9	34 43 54 56 67 87 98 21 32 34 54 65 86 54 87 98	45 45 34 45 34 23 12 32 34 12 34 12 56 67 67 67
10	12 12 23 45 65 76 87 98 43 43 54 65 76 87 98 32	34 54 43 76 88 90 21 32 98 65 43 98 87 43 32 43

Dan pada Tabel 4.2 tersebut di atas, setelah diubahnya format seluruh Ki dan RAND menjadi desimal, maka dilakukanlah komputasi perhitungan Kc oleh algoritma A8, di mana hasilnya diperlihatkan pada Tabel 4.3 di bawah ini. Pada Tabel 4.3 di bawah ini, diperlihatkan hasil keseluruhan percobaan Ki dan RAND yang diinputkan dengan nilai yang selalu dinamis, dan terbukti bahwa perhitungan Ki dan RAND akan menghasilkan jumlah bit Kc sebesar 64 bit. Setiap Ki dan RAND yang berbeda akan selalu menghasilkan Kc yang berbeda.



Dan tahapan berikutnya setelah dilakukan inputan Ki dan RAND maka akan dihasilkan Kc seperti pada Tabel 4.3 di bawah ini.

**Tabel 4.3** Hasil Kc (RAND dan Ki Berubah)

No	Kc
1	1110001001101111000111110011000011110010000011010110000000000000
2	1001110100111111101100100000101111100101011001000000110000000000
3	1001001011100010010100100111111100011011101010000011100000000000
4	0101101101000111000110111001001101010010011110010010110000000000
5	0110100010000100000011110011111000101100110001000000010000000000
6	1011111011101010000010101111100100010101110101011100000000000000
7	0001011011110000101001100000100000011111100011100001100000000000
8	0101111010011000010100010001100011001101000000000100100000000000
9	010011011111111101011110110110110111100111001100100100000000000
10	1100000010100010111011001010001101001111011110101111100000000000

Perhitungan Kc ini menggunakan aturan algoritma A8, yang mana digunakan aljabar sebagai berikut :

lev1 = input ('masukkan nilai Ki;RAND @ 16 byte =')

Syntax di atas digunakan untuk melakukan penerimaan input Ki dan RAND ke dalam system algoritma A8.

$$y_n = lev1(m,k) + 2 * lev1(m,k); \quad (4.1)$$

$$y_x = lev1(m,k) * 2 + lev1(m,k); \quad (4.2)$$

di mana :

n = data ke satu hingga ke-16

m = baris urutan bit array ke m

k = kolom urutan bit array ke k

Pada persamaan 4.1 di atas diterangkan bahwa difungsikan untuk melakukan perhitungan awal untuk level ke satu kompresi, di mana input awalnya merupakan  $K_i$  dan RAND.

$$y_{yn} = \text{mod}(y_n, j); \quad (4.3)$$

$$x_{xn} = \text{mod}(x_n, j); \quad (4.4)$$

di mana :

$n$  = data ke satu hingga ke-16

$j$  = modulus 512, 256, 128, 64 hingga 32.

Pada persamaan 4.3 dan 4.4 di atas, dijelaskan bahwa data yang telah dihitung oleh persamaan 4.1 dan 4.2 dilanjutkan dengan melakukan modulus terhadap variabel  $y_n$  dan variabel  $x_n$  sesuai dengan level yang sedang dilalui. Level kompresi ini terdapat lima tahapan dengan modulus yang berbeda, yaitu modulus 512, modulus 256, modulus 128, modulus 64 dan modulus 32.

$$y = [yy_1 \dots yy_{15}] \quad (4.5)$$

$$x = [xx_1 \dots xx_{16}] \quad (4.6)$$

Pada persamaan 4.5 dan 4.6 dilakukan pembentukan array baru dari hasil perhitungan persamaan 4.1, 4.2, 4.3 dan 4.4 di atas.

Kemudian dilakukanlah proses substitusi tabel GSM sesuai dengan level kompresi yang dijalani pada saat itu. Karena ada lima tahap kompresi, maka jumlah tabel GSM juga ada lima bagian, yaitu Tab512, Tab256, Tab128, Tab64 dan Tab32, seperti yang ditunjukkan pada persamaan 4.7 di bawah ini.

$$l_{yyn} = \text{Tab}_j(y_{yn}) \quad (4.7)$$

$$l_{yyx} = \text{Tab}_j(y_{yx}) \quad (4.8)$$

di mana :

$n = 1 \dots 16$

$x = 1 \dots 16$

$j = 512, 256, 128, 64, 32.$

Dan hasil persamaan 4.7 dan 4.8 di atas digunakan untuk akhir kompresi pada setiap tahap hingga tahap terakhir dari level kompresi, di mana nilai yang dikompres menggunakan substitusi tabel GSM, sehingga berubah menjadi jumlah bit yang semakin kecil nilainya.

Begitu juga proses di atas dilakukan sama untuk menghasilkan Kc pada Tabel 4.3 ,

## DATA PERCOBAAN 2

Pada Tabel 4.4 di bawah ini, digunakanlah uji coba dengan menggunakan masukan Ki dan RAND yang berbeda dari percobaan sebelumnya. Konversi dari desimal ke hexadesimal diperlihatkan pada Tabel 4.4 di bawah. Pengkonversian ini menunjukkan bahwa program untuk mikrokontroler membutuhkan masukkan dalam format hexadesimal. Sedangkan untuk masukkan ke dalam program yang berbasis pada PC, menggunakan format byte, yang kesemuanya adalah tergantung dari kemudahan syntax yang terdapat pada setiap program dan *device*.

**Tabel 4.4** Konversi Desimal ke Hexadesimal

No.	Ki	RAND
1	2D 2D 22 2D 22 17 C 20 22 C 22 C 38 43 43 43	C C 17 2D 41 4C 57 62 2B 2B 36 41 4C 57 62 20
2	2D 2D 22 2D 22 17 C 20 22 C 22 C 38 43 43 43	2B 2B 36 38 43 57 62 43 2B 36 41 4C 57 62 20
3	2D 2D 22 2D 22 17 C 20 22 C 22 C 38 43 43 43	1F 20 36 38 43 57 62 15 20 22 36 41 56 36 57 62
4	2D 2D 22 2D 22 17 C 20 22 C 22 C 38 43 43 43	C 17 2B 2D 41 4C 57 62 C D E E 3B 20 41 4C
5	2D 2D 22 2D 22 17 C 20 22 C 22 C 38 43 43 43	20 2B 15 40 20 4B 56 20 37 15 41 57 61 61 17 C
6	2D 2D 22 2D 22 17 C 20 22 C 22 C 38 43 43 43	22 2D 38 43 22 2D 38 17 22 2D 38 4E 59 57 41
7	2D 2D 22 2D 22 17 C 20 22 C 22 C 38 43 43 43	59 2D 38 43 22 2D 38 17 22 2D 38 4E 59 57 57 41
8	2D 2D 22 2D 22 17 C 20 22 C 22 C 38 43 43 43	22 23 23 2D 17 41 21 2D 43 C 22 37 43 58 62 21
9	2D 2D 22 2D 22 17 C 20 22 C 22 C 38 43 43 43	22 23 23 2D 17 17 C 20 22 C 22 C 38 43 43 43
10	2D 2D 22 2D 22 17 C 20 22 C 22 C 38 43 43 43	22 36 2B 4C 58 5A 15 20 62 41 2B 62 57 2B 20 2B

Pada Tabel 4.5 di bawah ini, dilakukan masukan Ki yang tetap hingga sepuluh percobaan yang dipasangkan dengan nilai RAND dengan data dinamis. Dan hal ini dilakukan dengan memasukkan nilai Ki dan RAND secara urut hingga sepuluh percobaan. Ki dan RAND yang dimasukkan sebagai data dipisahkan dengan tanda ” ; ” (tanpa tanda ” ).

Pada Tabel 4.5 di bawah ini, dilakukan percobaan dengan menggunakan Ki yang tetap nilainya hingga sepuluh kali percobaan, sedangkan untuk nilai RAND yang selalu berubah untuk sepuluh percobaan di bawah ini.

**Tabel 4.5** Data Uji Coba Untuk Ki Tetap, RAND berubah.

No	Ki	RAND
1	45 45 34 45 34 23 12 32 34 12 34 12 56 67 67 67	12 12 23 45 65 76 87 98 43 43 54 65 76 87 98 32
2	45 45 34 45 34 23 12 32 34 12 34 12 56 67 67 67	34 43 54 56 67 87 98 21 32 34 54 65 86 54 87 98
3	45 45 34 45 34 23 12 32 34 12 34 12 56 67 67 67	31 32 43 54 32 54 65 76 32 45 65 23 45 66 78 99
4	45 45 34 45 34 23 12 32 34 12 34 12 56 67 67 67	12 23 43 45 65 76 87 98 12 13 14 14 54 32 65 76
5	45 45 34 45 34 23 12 32 34 12 34 12 56 67 67 67	32 34 21 64 32 75 86 32 55 21 65 87 97 97 23 12
6	45 45 34 45 34 23 12 32 34 12 34 12 56 67 67 67	34 45 56 67 34 45 56 23 34 45 56 78 89 87 87 65
7	45 45 34 45 34 23 12 32 34 12 34 12 56 67 67 67	89 45 56 67 34 45 56 23 34 45 56 78 89 87 87 65
8	45 45 34 45 34 23 12 32 34 12 34 12 56 67 67 67	34 35 35 45 23 65 33 45 67 12 34 55 67 88 98 33
9	45 45 34 45 34 23 12 32 34 12 34 12 56 67 67 67	34 35 35 45 23 23 12 32 34 12 34 12 56 67 67 67
10	45 45 34 45 34 23 12 32 34 12 34 12 56 67 67 67	34 54 43 76 88 90 21 32 98 65 43 98 87 43 32 43

Setelah dilakukan percobaan seperti tabel 4.5 tersebut di atas, maka dilakukan persamaan rumus aljabar algoritma A8, untuk menghasilkan *chipering key* Kc seperti pada Tabel 4.6 di bawah ini. Pada Tabel 4.6 di bawah ini, walaupun dilakukan masukan Ki dan RAND sebesar 16 byte masing-masing dengan nilai yang berbeda-beda maupun tetap sama, maka diperlihatkan pada Tabel 4.6 di bawah bahwa jumlah

Kc tetap sama, sedangkan nilai urutan bit yang berbeda untuk tiap perubahan masukan yang berbeda.

**Tabel 4.6** Hasil Kc (Ki Tetap dan RAND Berubah)

No	Kc
1	1110001001101111000111110011000011110010000011010110000000000000
2	0011101001110110101011010001110100101101111110110011110000000000
3	1000011010111011001110010001110110000100010010011111010000000000
4	0000101001010001100011001111100001100001000100101110010000000000
5	0101101001001100111001010011111011101000110000110010110000000000
6	0101011110001011101011010101100101111010111110010101000000000000
7	0011111100001111000101010010101001000101100100001101110000000000
8	0000010111101100110111100111100000111000011101100010000000000000
9	0001011000000110100100100001111110101001010010100010010000000000
10	0000111000101110001010101010001101010011011101000011100000000000

Sedangkan pada Tabel 4.7 di bawah ini, merupakan konversi untuk format byte ke hexadecimal. Dan sama pada percobaan sebelumnya, bahwa seluruh percobaan pada Tabel 4.7, Tabel 4.8 dan Tabel 4.9 dilakukan hal yang sama yaitu dengan menggunakan perhitungan aljabar algoritma A8.

Untuk keseluruhan tabel Ki dan RAND, dilakukan urutan-urutan secara bergantian antaranya untuk memperoleh array matrix hingga dua kolom. Dilakukan dua kolom karena untuk menghitung masukan yang berjumlah dua jenis yaitu Ki dan RAND.

Dari keseluruhan percobaan ini, menggunakan metode atau pola yang sama, yaitu kompresi dan permutasi. Ki dan RAND dapat berupa format byte, bit atau hexadesimal untuk kemudian dilakukan perhitungan dengan pola yang sudah ditetapkan dalam algoritma A8.

Hasil percobaan Ki dan RAND sudah pasti menghasilkan *chipering key* yang unik dan selalu berubah setiap kali data masukan yang berubah.

Seperti pada Tabel 4.7 di bawah ini, dilakukan dengan nilai Ki yang berubah, sedangkan RAND yang tetap.

### DATA PERCOBAAN 3

Pada Tabel 4.7 di bawah, dilakukan sepuluh percobaan yang berbeda-beda untuk dapat dihasilkan Kc yang berbeda dan dapat dilakukan proses enkripsi.

**Tabel 4.7** Konversi Hexadesimal ke Desimal

No.	Ki	RAND
1	22 C 17 2D 41 4C 57 62 2B 2B 36 41 4C 57 62 20	2D 2D 22 2D 22 17 C 20 22 C 22 C 38 43 43 43
2	38 C 17 2D 41 4C 57 2D 2B 2B 36 41 4C 57 62 20	2D 2D 22 2D 22 17 C 20 22 C 22 C 38 43 43 43
3	4E 2B 36 38 43 57 62 15 20 22 36 41 56 36 57 62	2D D2 22 2D 22 17 C 20 22 C 22 C 38 43 43 43
4	1F 20 2B 36 20 36 41 4C 20 2D 41 17 2D 42 4E 63	2D D2 22 2D 22 17 C 20 22 C 22 C 38 43 43 43
5	1F 20 2B 36 20 36 41 4C 20 2D 41 17 2D 42 4E 63	2D D2 22 2D 22 17 C 20 22 C 22 C 38 43 43 43
6	C C 17 2D 41 4C 57 62 2B 2B 36 41 4C 57 62 20	2D D2 22 2D 22 17 C 20 22 C 22 C 38 43 43 43
7	22 2B 36 38 43 57 62 15 20 22 36 41 56 36 57 62	2D D2 22 2D 22 17 C 20 22 C 22 C 38 43 43 43
8	62 C 17 2D 41 4C 57 62 43 2B 36 41 4C 57 62 20	2D D2 22 2D 22 17 C 20 22 C 22 C 38 43 43 43
9	22 2B 36 38 43 57 62 15 20 22 38 56 36 57 62	2D D2 22 2D 22 17 C 20 22 C 22 C 38 43 43 43
10	20 2B 36 38 43 57 62 15 20 22 41 56 56 36 57 98	2D D2 22 2D 22 17 C 20 22 C 22 C 38 43 43 43

Dan dilakukannya percobaan hingga sepuluh kali, pada data Tabel 4.7 tersebut di atas, untuk mengetahui bahwa hasil akhir Kc yang selalu memiliki jumlah bit yang sama.

Pada Tabel 4.8 di bawah ini, dilakukan pengubahan data dari format hexadesimal ke dalam format byte atau desimal untuk dapat dilakukannya komputasi data dan diperolehnya Kc dalam bentuk biner setelah dikonversi dari byte.

**Tabel 4.8** Data Uji Coba Untuk Ki Berubah, RAND Tetap.

No.	Ki	RAND
1	34 12 23 45 65 76 87 98 43 43 54 65 76 87 98 32	45 45 34 45 34 23 12 32 34 12 34 12 56 67 67 67
2	56 12 23 45 65 76 87 45 43 43 54 65 76 87 98 32	45 45 34 45 34 23 12 32 34 12 34 12 56 67 67 67
3	78 43 54 56 67 87 98 21 32 34 54 65 86 54 87 98	45 45 34 45 34 23 12 32 34 12 34 12 56 67 67 67
4	31 32 43 54 32 54 65 76 32 45 65 23 45 66 78 99	45 45 34 45 34 23 12 32 34 12 34 12 56 67 67 67
5	31 32 43 54 32 54 65 76 32 45 65 23 45 66 78 99	45 45 34 45 34 23 12 32 34 12 34 12 56 67 67 67
6	12 12 23 45 65 76 87 98 43 43 54 65 76 87 98 32	45 45 34 45 34 23 12 32 34 12 34 12 56 67 67 67
7	34 43 54 56 67 87 98 21 32 34 54 65 86 54 87 98	45 45 34 45 34 23 12 32 34 12 34 12 56 67 67 67
8	98 12 23 45 65 76 87 98 67 43 54 65 76 87 98 32	45 45 34 45 34 23 12 32 34 12 34 12 56 67 67 67
9	34 43 54 56 67 87 98 21 32 34 54 65 86 54 87 98	45 45 34 45 34 23 12 32 34 12 34 12 56 67 67 67
10	32 43 54 56 67 87 98 21 32 34 54 65 86 54 87 98	45 45 34 45 34 23 12 32 34 12 34 12 56 67 67 67

Dan pada Tabel 4.9 di bawah ini, diperlihatkan nilai Kc yang merupakan hasil dari nilai Ki yang tetap dan nilai RAND yang berubah. Dari data hasil percobaan yang didapatkan bahwa jumlah bit selalu sebanyak 64 bit, dan dengan nilai yang berbeda sesuai dengan masukan Ki dan RAND.

Dilakukannya substitusi terhadap Tabel GSM untuk memperoleh setiap *chipering key* Kc yang merupakan tahap permutasi dari hasil akhir kompres ke lima, seperti yang dilakukan pada Tabel 4.9 di bawah ini.

**Tabel 4.9** Hasil Kc ( Ki Berubah, RAND Tetap)

No	Kc
1	1111110111010000011100001000111000010000100100101111000000000000
2	0101111001000111010000101100100011100101110010010010110000000000
3	1010011000100001000110000000111001001110100100100011010000000000
4	1110000000000110101111110111000011000001011110111101100000000000

**Tabel 4.9** Hasil Kc dengan Ki Berubah, RAND Tetap (lanjutan)

No	Kc
5	111000000000110101111110111000011000001011110111101100000000000
6	1111001010001000111000101110110110100010111001101001010000000000
7	010011011111111010111101101101101110011100110010010000000000
8	000001111011101101000111011011111010100111111011001010000000000
9	010011011111111010111101101101101110011100110010010000000000
10	011000101000101111011000011111101010001001010100000010000000000

4.2.1.2. Uji karakteristik unjuk kerja proses pembangkitan Kc terhadap usaha intruder dalam menyadap informasi.

Para intruder berupaya untuk melakukan penyadapan informasi yang dikirim melalui jalur radio. Untuk itulah dibutuhkan pengamanan informasi menggunakan algoritma A5. Pada Tabel 4.10 di bawah ini, diperlihatkan uji coba enkripsi dengan *ciphering key* sebagai pengacak informasi yang dikirim.

**Tabel 4.10** Hasil Uji Coba Enkripsi

No	<i>Ciphering Key</i>	<i>Plaintext</i>	<i>Ciphertext</i>
1	1110001001101111000111110011000011110010000011010110000000000000	Indonesia	3 -
2	100111010011111101100100000101111100101011001000000110000000000	guru	Pbeb
3	100100101110001001010010011111110001101110101000001110000000000	buku	
4	010110110100011100011011100100110101001001111001001011000000000	Kertas	R kmxj
5	011010001000010000001111001111100010110010001000000010000000000	Laptop	s^OKPO
6	1011110111010100000101011111001000101011010101110000000000000	Komputer	rVTILM\K
7	000101101111000010100110000010000001111110001110000110000000000	Harddisk	#0&&+1)
8	010111101001100001010001000110001100110100000000100100000000000	Memory	/
9	010011011111111010111101101101110101111001110011001001000000000	UserManual	ZL[dHG\H E
10	110000001010001011101100101000110100111101110101111100000000000	elektroniK	5



Tabel 4.10 Hasil Uji Coba Enkripsi (lanjutan)

No	<i>Ciphering Key</i>	<i>Plaintext</i>	<i>Ciphertext</i>
11	11100010011011110001111100110000111100100001101011000000000000	Teknik	.
12	001110100111011010101101000111010010110111110110011110000000000	Teknik	79<;9
13	100001101011101100111001000111011000010001001001111101000000000	Teknik	2
14	000010100101000110001100111110000110000100010010111001000000000	Teknik	j[UPWU
15	010110100100110011100101001111101110100011000011001011000000000	Teknik	[jdafd
16	0101011110001011101011010101100101111010111110010101000000000	Teknik	?1431
17	001111110000111100010101001010100100010110010000110111000000000	Kebaikan	\ruv~ vy
18	000001011110110011011110011110000011100001110110001000000000000	Kebaikan	@nijb`je
19	000101100000011010010010000111111010100101001010001001000000000	Kebaikan	vX_\TV\S
20	000011100010111000101010101000110101001101110100001110000000000	Kebaikan	S}zyqsyv
21	11111101110100000111000010001110000100001001001001011100000000000	12345	,/.)
22	01011110010001110100001011001000111001011100100100100101100000000	54321	
23	101001100010000100011000000011100100111010010010001101000000000	Per3ADI	Xmz;ILA
24	11100000000011010111111011100001100000101111011110110000000000	2,345	~` xy
25	11100000000011010111111011100001100000101111011110110000000000	Apakah?	<-'-\$s
26	111100101000100011100010111011011010001011100110100101000000000	!@#%\$^&*( )_+	J+HON5MABC4@
27	01001101111111101011110110110111010111100110010010000000000	,./	
28	0000011110111011010001110110111110101001111101100101000000000	\M8*9	,=HZI
29	01001101111111101011110110110111010111100110010010000000000	-12345	
30	01100010100010111101100001111110101000101010100000010000000000	+12345	}gdebc

Pada Tabel 4.10 tersebut di atas, ditunjukkan tiga puluh percobaan, di mana terdapat *ciphering key* yang telah berhasil dibangkitkan oleh algoritma A8, dengan masukan berupa Ki dan RAND yang berbeda. Ki dan RAND yang digunakan dalam algoritma

A8 ini, adalah berkapasitas sebesar 128 bit. Lalu setelah dilakukan komputasi tersebut di atas, maka diperolehlah *ciphering key* dengan kapasitas 64 bit. Kunci *cipher key* ini digunakan sebagai masukan untuk algoritma A5, yang mana digunakan sebagai bit pengacak informasi yang telah dilakukan komputasi oleh algoritma A5 tersebut.

Pada percobaan satu hingga percobaan sepuluh dari Tabel 4.10 di atas, *ciphering key* yang dihasilkan merupakan hasil dari masukkan Ki dan RAND yang berbeda untuk setiap kali uji coba.

Setelah *ciphering key* berhasil dibangkitkan, maka setelah itu dilakukan proses enkripsi informasi. Artinya informasi yang akan dikirim atau *plaintext*, terlebih dahulu dikomputasikan dengan *ciphering key* tersebut di atas, lalu informasi yang telah diacak berupa *ciphertext* tersebut dikirim ke MS melalui proses hirarki interkoneksi. Ketika intruder melakukan penyadapan informasi melalui jalur radio, maka yang terbaca adalah berupa *ciphertext*.

Pada percobaan pertama, *plaintext* yang dikirim adalah 'Indonesia'. Lalu setelah dilakukan komputasi terhadap *ciphering key*, maka terbentuklah informasi acak atau *ciphertext* berupa '3 - ' . Sedangkan pada percobaan kedua, *plaintext* yang dikirim adalah 'guru', lalu *ciphertext* yang dibangkitkan adalah 'pbeb'. Kedua percobaan di atas, menunjukkan tingkat keamanan data yang baik, karena *ciphertext* yang dibangkitkan tidak sedikitpun dapat dipecahkan untuk mendapatkan informasi.

Sedangkan pada sepuluh percobaan kedua, digunakanlah informasi yang sama dengan *ciphering key* yang berbeda untuk setiap uji coba. *Plaintext* yang digunakan adalah kata 'Teknik'. *Plaintext* tersebut sama untuk lima percobaan pertama. *Ciphering key* yang digunakan pertama kali adalah 11100010011011110001111100110000 11110010000011010110000000000000, lalu *ciphering key* berikutnya adalah 00111010011101 1010101101000111010010110111110110011110000000000, dengan *plaintext* yang berbeda secara urut, ' ' dan ' 79<;9' . Hal ini menunjukkan bahwa walaupun digunakannya *plaintext* yang sama untuk setiap uji coba dengan menggunakan

*cipherring key* yang berbeda , maka *ciphertext* yang dibangkitkan akan selalu berbeda, sedangkan *plaintext* hasil dekripsi akan selalu sesuai dengan informasi sebelum dikirim.

Untuk sepuluh percobaan ketiga, digunakanlah *plaintext* berupa symbol, untuk mengetahui bahwa keamanan yang dilakukan tidak hanya berupa kata atau kalimat, namun juga dapat berupa *symbol*.

## BAB 5

### KESIMPULAN

Dari hasil uji coba simulasi proses pembangkitan kunci *ciphering key* 64 bit Kc, maka dapat diperoleh beberapa kesimpulan sebagai berikut :

1. Ki dan RAND yang berbeda untuk setiap kali percobaan akan menghasilkan Kc yang berbeda nilainya, namun tetap jumlah bit-nya untuk setiap uji coba.
2. Kunci Kc yang sah bila digunakan untuk komputasi terhadap informasi yang akan dikirim, maka intruder tidak akan dapat membaca atau menyadapnya, karena telah dilakukan proses acak.
3. Proses acak ini dilakukan dengan perhitungan enkripsi menggunakan algoritma A5.
4. Bila Kc pada MS berbeda dengan Kc pada MSC, maka akan terjadi *error*. Hal ini menunjukkan keamanan sistem yang terjamin.
5. Pada proses enkripsi, apabila hasil perhitungan *ciphering key* berbeda untuk setiap uji coba, dan dilakukan komputasi terhadap *plaintext* dengan menggunakan algoritma A5, maka hasilnya selalu memiliki nilai *ciphertext* yang berbeda.
6. Untuk setiap data informasi yang dilakukan secara acak menggunakan algoritma A5, maka data informasi tersebut akan aman.

## DAFTAR ACUAN

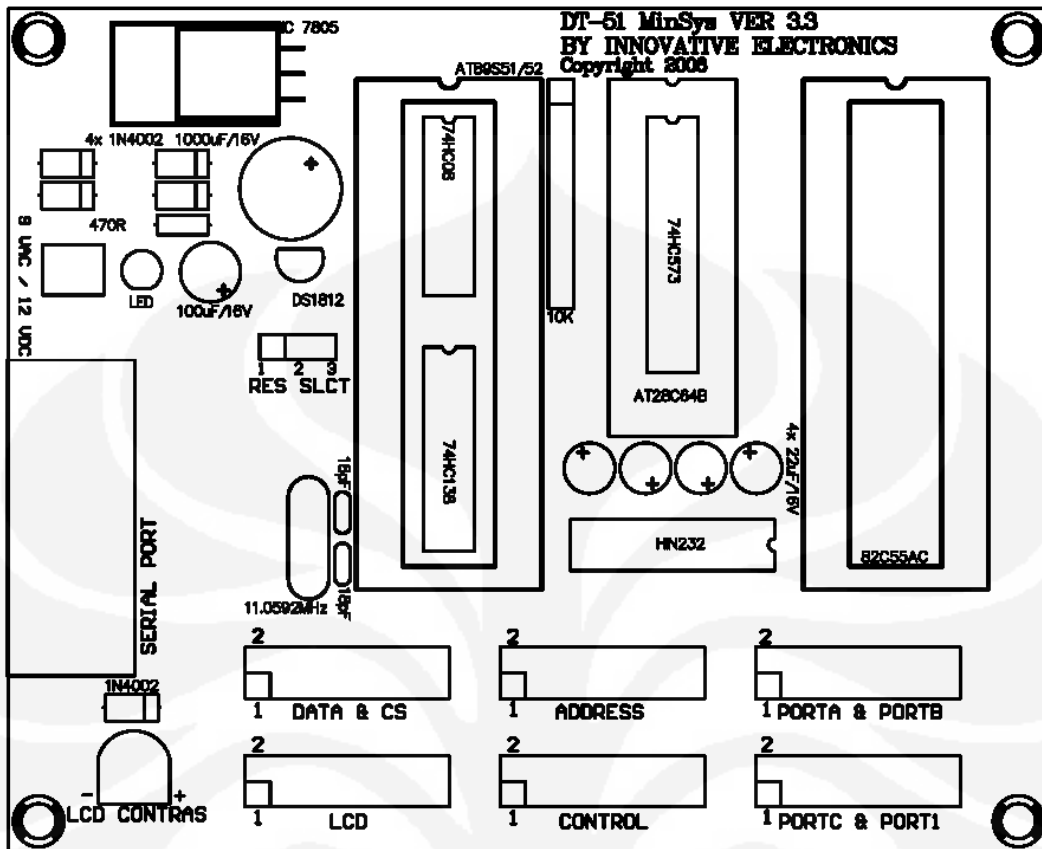
- [1] (2000). “ Fraud dan Metode Sekuriti Pada Telekomunikasi Telepon Bergerak ”. Diakses 01 November 2008, dari Elektro Indonesia.  
<http://www.itb.ac.id>
- [2] Data sheet AT89S52
- [3] Afgianto Eko Putra, *Belajar Mikrokontroler AT89C51/52/55 (Teori dan Aplikasi)*, Gava media, Edisi Kedua, Yogyakarta, 2004.
- [4] *AT89S51/52 Development Tools DT-51 Minsys User Guide*, Innovative electronic.
- [5] Barry B. Brey, *Mikroprocessors : 8086/ 8088, 80186/80188, 80286, 80386, 80486, Pentium, Prosesor Pentium Pro, Pentium II, Pentium III, dan Pentium 4 Edisi keenam*, Ed.I, ANDI, Yogyakarta: 2005
- [6] JM Zacharias (2005). “ Arsitekture GSM”. Diakses 01 Oktober 2008, <http://www.jmzacharias.com/GSM.htm>
- [7] Uke Kurniawan Usman, Ir, MT. “*Global Sistem for Mobile communication (GSM)*”, Diakses 01 Oktober 2008, dari STTTELKOM, Bandung.  
<http://www.stttelkom.ac.id>

## DAFTAR PUSTAKA

- [1] Anonim, GSM Cloning, <http://www.isaac.cs.berkeley.edu/isaac/gsm-faq.html>, tanggal akses 20 November 2008
- [2] Sudmeyer, Philipp (2006). *A performance oriented implementation of COMP128*", RuhrUniversity Bochum, Jerman.
- [3] Sin, Susan. "COMP128." <http://calliope.uwaterloo.ca/ssjsin/COMP128.pdf> tanggal akses 20 November 2008



**LAMPIRAN**

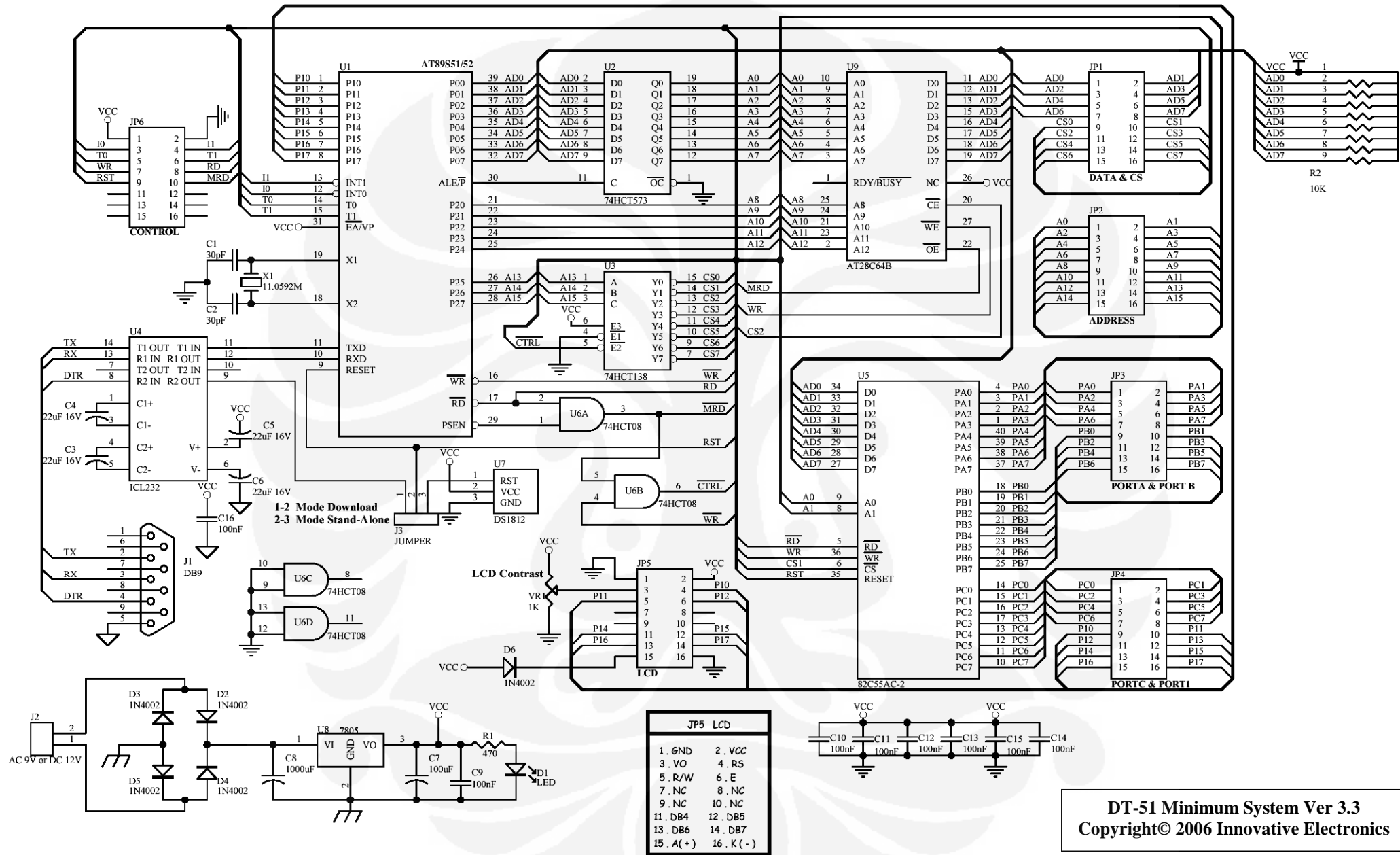


Gambar 1-1  
Tata Letak DT-51 Minimum System ver 3.3

Koneksi Kabel Serial DT-51 Minimum System ver 3.3

PC Serial Port Connector		DT-51 Minimum System ver 3.3 Serial Port Connector
DB9 Female	DB25 Female	DB9 Male
3	2	3
2	3	2
5	7	5
4	20	4







**TABEL 32**

0	1	2	3	4	5	6	7	8	9	10	11	12	13	14	15
15,	12,	10,	4,	1,	14,	11,	7,	5,	0,	14,	7,	1,	2,	13,	8,
16	17	18	19	20	21	22	23	24	25	26	27	28	29	30	31
10,	3,	4,	9,	6,	0,	3,	2,	5,	6,	8,	9,	11,	13,	15,	12

**TABEL 64**


0	1	2	3	4	5	6	7	8	9	10	11	12	13	14	15
1,	5,	29,	6,	25,	1,	18,	23,	17,	19,	0,	9,	24,	25,	6,	31,
16	17	18	19	20	21	22	23	24	25	26	27	28	29	30	31
28,	20,	24,	30,	4,	27,	3,	13,	15,	16,	14,	18,	4,	3,	8,	9,
32	33	34	35	36	37	38	39	40	41	42	43	44	45	46	47
20,	0,	12,	26,	21,	8,	28,	2,	29,	2,	15,	7,	11,	22,	14,	10,
48	49	50	51	52	53	54	55	56	57	58	59	60	61	62	63
17,	21,	12,	30,	26,	27,	16,	31,	11,	7,	13,	23,	10,	5,	22,	19

**TABEL 128**

0	1	2	3	4	5	6	7	8	9	10	11	12	13	14	15
52,	50,	44,	6,	21,	49,	41,	59,	39,	51,	25,	32,	51,	47,	52,	43,
16	17	18	19	20	21	22	23	24	25	26	27	28	29	30	31
37,	4,	40,	34,	61,	12,	28,	4,	58,	23,	8,	15,	12,	22,	9,	18,
32	33	34	35	36	37	38	39	40	41	42	43	44	45	46	47
55,	10,	33,	35,	50,	1,	43,	3,	57,	13,	62,	14,	7,	42,	44,	59,
48	49	50	51	52	53	54	55	56	57	58	59	60	61	62	63
62,	57,	27,	6,	8,	31,	26,	54,	41,	22,	45,	20,	39,	3,	16,	56,
64	65	66	67	68	69	70	71	72	73	74	75	76	77	78	79
48,	2,	21,	28,	36,	42,	60,	33,	34,	18,	0,	11,	24,	10,	17,	61,
80	81	82	83	84	85	86	87	88	89	90	91	92	93	94	95
29,	14,	45,	26,	55,	46,	11,	17,	54,	46,	9,	24,	30,	60,	32,	0,
96	97	98	99	100	101	102	103	104	105	106	107	108	109	110	111
20,	38,	2,	30,	58,	35,	1,	16,	56,	40,	23,	48,	13,	19,	19,	27,
112	113	114	115	116	117	118	119	120	121	122	123	124	125	126	127
31,	53,	47,	38,	63,	15,	49,	5,	37,	53,	25,	36,	63,	29,	5,	7

**TABEL 256**

0	1	2	3	4	5	6	7	8	9	10	11	12	13	14	15
19,	11,	80,	114,	43,	1,	69,	94,	39,	18,	127,	17,	97,	3,	85,	43,
16	17	18	19	20	21	22	23	24	25	26	27	28	29	30	31
27,	124,	70,	83,	47,	71,	63,	10,	47,	89,	79,	4,	14,	59,	11,	5,
32	33	34	35	36	37	38	39	40	41	42	43	44	45	46	47
35,	107,	103,	68,	21,	86,	36,	91,	85,	126,	32,	50,	109,	94,	120,	6,
48	49	50	51	52	53	54	55	56	57	58	59	60	61	62	63
53,	79,	28,	45,	99,	95,	41,	34,	88,	68,	93,	55,	110,	125,	105,	20,
64	65	66	67	68	69	70	71	72	73	74	75	76	77	78	79
90,	80,	76,	96,	23,	60,	89,	64,	121,	56,	14,	74,	101,	8,	19,	78,
80	81	82	83	84	85	86	87	88	89	90	91	92	93	94	95
76,	66,	104,	46,	111,	50,	32,	3,	39,	0,	58,	25,	92,	22,	18,	51,
96	97	98	99	100	101	102	103	104	105	106	107	108	109	110	111
57,	65,	119,	116,	22,	109,	7,	86,	59,	93,	62,	110,	78,	99,	77,	67,
112	113	114	115	116	117	118	119	120	121	122	123	124	125	126	127
12,	113,	87,	98,	102,	5,	88,	33,	38,	56,	23,	8,	75,	45,	13,	75,
128	129	130	131	132	133	134	135	136	137	138	139	140	141	142	143
95,	63,	28,	49,	123,	120,	20,	112,	44,	30,	15,	98,	106,	2,	103,	29,
144	145	146	147	148	149	150	151	152	153	154	155	156	157	158	159
82,	107,	42,	124,	24,	30,	41,	16,	108,	100,	117,	40,	73,	40,	7,	114,
160	161	162	163	164	165	166	167	168	169	170	171	172	173	174	175
82,	115,	36,	112,	12,	102,	100,	84,	92,	48,	72,	97,	97,	94,	95,	74,



176 177 178 179 180 181 182 183 184 185 186 187 188 189 190 191  
113,123, 17, 26, 53, 58, 4, 9, 69, 122, 21, 118, 42, 60, 27, 73,

192 193 194 195 196 197 198 199 200 201 202 203 204 205 206 207  
118,125, 34, 15, 65, 115, 84, 64, 62, 81, 70, 1, 24,111, 121, 83,

208 209 210 211 212 213 214 215 216 217 218 219 220 221 222 223  
104, 81, 49, 127, 48, 105, 31, 10, 6, 91, 87, 37, 16, 54, 116, 126,

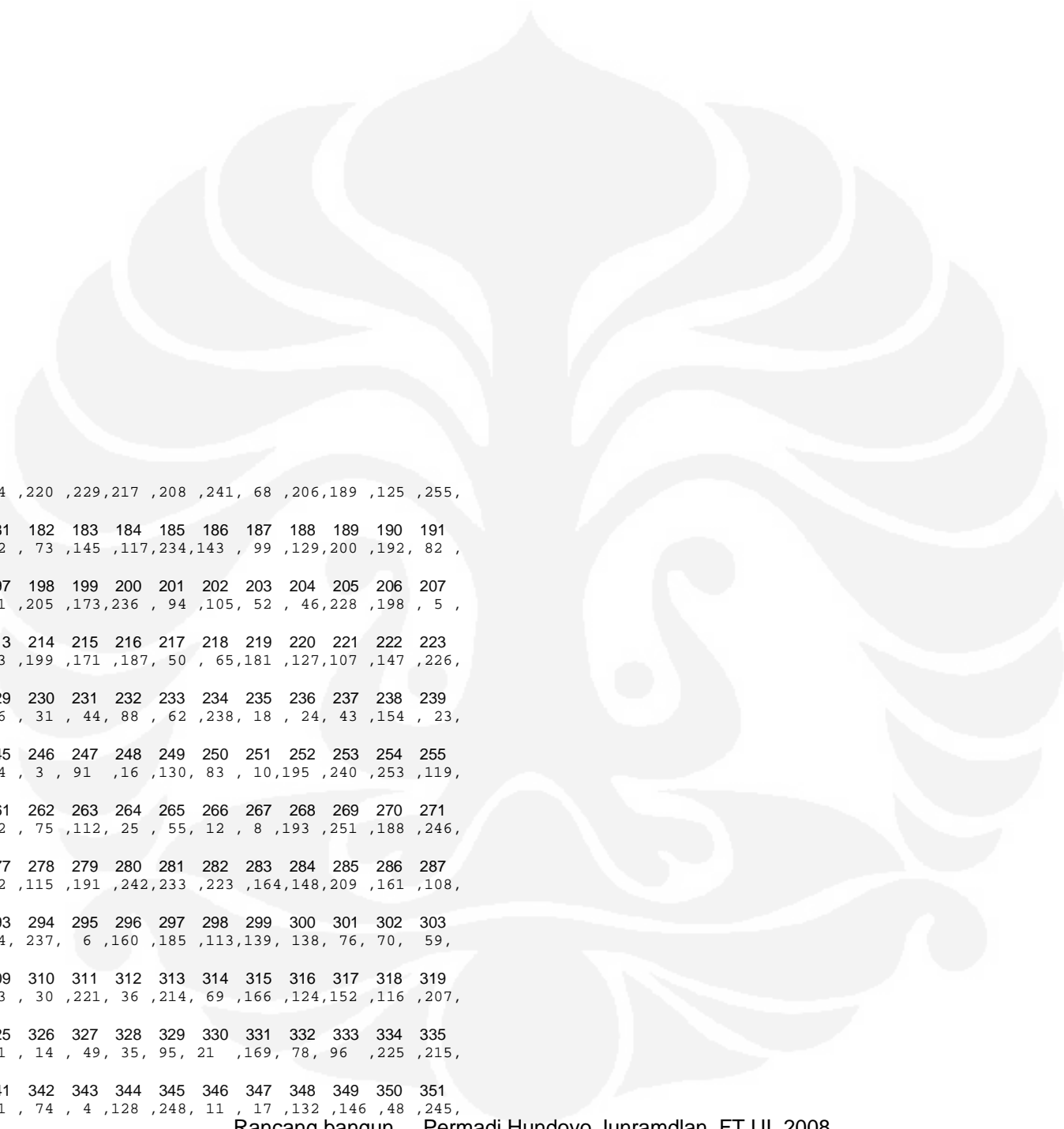
224 225 226 227 228 229 230 231 232 233 234 235 236 237 238 239  
31, 38, 13, 0, 72, 106, 77, 61, 26, 67, 46, 29, 96, 37, 61, 52,

240 241 242 243 244 245 246 247 248 249 250 251 252 253 254 255  
101, 17, 44, 108, 71, 52, 66, 57, 33, 51, 25, 90, 2, 119,122, 35

**TABEL AUTENTIKASI**

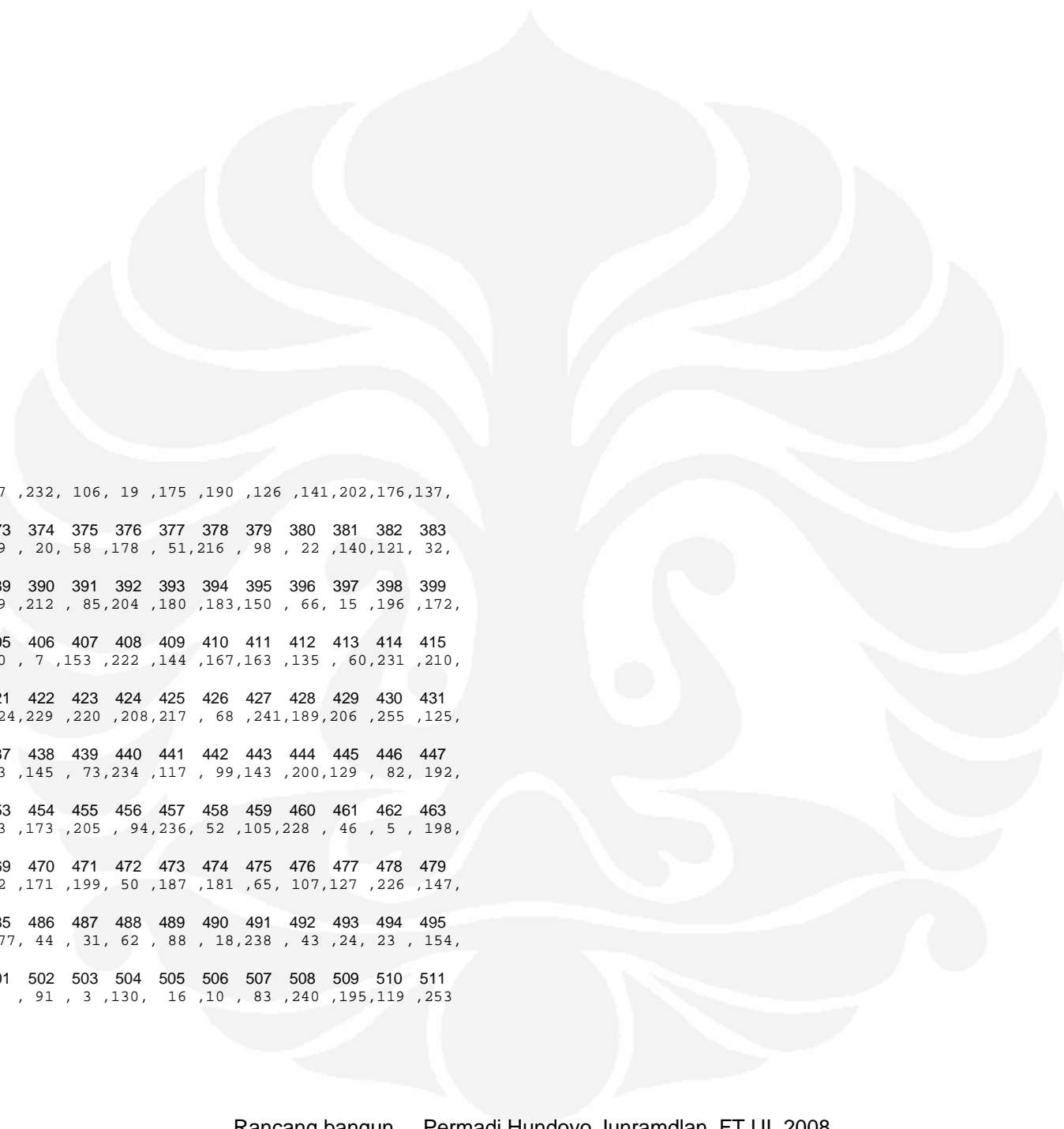
**TABEL 512**

0	1	2	3	4	5	6	7	8	9	10	11	12	13	14	15	→	Indeks ke		
																→	Nilai data kompresi		
102,177	,186,162,	2	,156	,112,	75,	55,	25,	8	,	12	,251,193,246,188,								
16	17	18	19	20	21	22	23	24	25	26	27	28	29	30	31				
109	,213,151,	53,	42,	79,	191	,115,233,242,164,223,209	,148,108,161,												
32	33	34	35	36	37	38	39	40	41	42	43	44	45	46	47				
252	,37,244,	47,	64,211	,	6,237,185,160,139	,113,	76,138,	59,	70,										
48	49	50	51	52	53	54	55	56	57	58	59	60	61	62	63				
67	,26,	13,157,	63,179,221	,	30,214,	36,166	,	69,152,124,207,116,											
64	65	66	67	68	69	70	71	72	73	74	75	76	77	78	79				
247	,194,	41,	84,	71,	1	,49,	14,	95,	35,169	,	21,	96,	78,215,225,						
80	81	82	83	84	85	86	87	88	89	90	91	92	93	94	95				
182	,243,	28,	92,201,118	,	4,	74	,248,128,	17,	11	,146,132,245,	48,								
96	97	98	99	100	101	102	103	104	105	106	107	108	109	110	111				
149	,90,120,	39,	87	,230,106	,232,175	,	19	,126,190	,202	,141	,137,176,								
112	113	114	115	116	117	118	119	120	121	122	123	124	125	126	127				
250	,27	,101,	40	,219	,227,	58	,	20,	51	,178	,	98,216	,140,	22	,32	,121,			
128	129	130	131	132	133	134	135	136	137	138	139	140	141	142	143				
61	,103	,203	,	72	,	29,110	,	85,212	,180	,204	,150,183	,	15,	66	,172	,196,			
144	145	146	147	148	149	150	151	152	153	154	155	156	157	158	159				
56	,197	,158,	0,100	,	45	,153	,	7	,144	,222	,163,167	,	60,135	,210	,231,				
160	161	162	163	164	165	166	167	168	169	170	171	172	173	174	175				



174 ,165 , 38,249 ,224, 34 ,220 ,229,217 ,208 ,241, 68 ,206,189 ,125 ,255,  
176 177 178 179 180 181 182 183 184 185 186 187 188 189 190 191  
239 , 54 ,168, 89,123 ,122 , 73 ,145 ,117,234,143 , 99 ,129,200 ,192, 82 ,  
192 193 194 195 196 197 198 199 200 201 202 203 204 205 206 207  
104 ,170 ,136,235 , 93, 81 ,205 ,173,236 , 94 ,105, 52 , 46,228 ,198 , 5 ,  
208 209 210 211 212 213 214 215 216 217 218 219 220 221 222 223  
57 ,254 , 97,155 ,142,133 ,199 ,171 ,187, 50 , 65,181 ,127,107 ,147 ,226,  
224 225 226 227 228 229 230 231 232 233 234 235 236 237 238 239  
184 ,218 ,131 , 33, 77, 86 , 31 , 44, 88 , 62 ,238, 18 , 24, 43 ,154 , 23,  
240 241 242 243 244 245 246 247 248 249 250 251 252 253 254 255  
80 ,159 ,134 ,111, 9 ,114 , 3 , 91 ,16 ,130, 83 , 10,195 ,240 ,253 ,119,  
256 257 258 259 260 261 262 263 264 265 266 267 268 269 270 271  
177 ,102 ,162,186 ,156, 2 , 75 ,112, 25 , 55, 12 , 8 ,193 ,251 ,188 ,246,  
272 273 274 275 276 277 278 279 280 281 282 283 284 285 286 287  
213 ,109 , 53 ,151, 79, 42 ,115 ,191 ,242,233 ,223 ,164,148,209 ,161 ,108,  
288 289 290 291 292 293 294 295 296 297 298 299 300 301 302 303  
37 , 252 , 47,244 ,211, 64, 237, 6 ,160 ,185 ,113,139, 138, 76, 70, 59,  
304 305 306 307 308 309 310 311 312 313 314 315 316 317 318 319  
26 , 67 ,157, 13 ,179, 63 , 30 ,221, 36 ,214, 69 ,166 ,124,152 ,116 ,207,  
320 321 322 323 324 325 326 327 328 329 330 331 332 333 334 335  
194 ,247 , 84, 41 , 1 , 71 , 14 , 49, 35, 95, 21 ,169, 78, 96 ,225 ,215,  
336 337 338 339 340 341 342 343 344 345 346 347 348 349 350 351  
243 ,182 , 92, 28 ,118,201 , 74 , 4 ,128 ,248, 11 , 17 ,132 ,146 ,48 ,245,  
352 353 354 355 356 357 358 359 360 361 362 363 364 365 366 367





90 ,149 , 39,120 ,230, 87 ,232, 106, 19 ,175 ,190 ,126 ,141,202,176,137,  
368 369 370 371 372 373 374 375 376 377 378 379 380 381 382 383  
27 ,250 , 40,101 ,227,219 , 20, 58 ,178 , 51,216 , 98 , 22 ,140,121, 32,  
384 385 386 387 388 389 390 391 392 393 394 395 396 397 398 399  
103 , 61 , 72,203 ,110, 29 ,212 , 85,204 ,180 ,183,150 , 66, 15 ,196 ,172,  
400 401 402 403 404 405 406 407 408 409 410 411 412 413 414 415  
197 , 56 , 0 ,158 , 45,100 , 7 ,153 ,222 ,144 ,167,163 ,135 , 60,231 ,210,  
416 417 418 419 420 421 422 423 424 425 426 427 428 429 430 431  
165 ,174 ,249 , 38, 34 ,224,229 ,220 ,208,217 , 68 ,241,189,206 ,255 ,125,  
432 433 434 435 436 437 438 439 440 441 442 443 444 445 446 447  
54 ,239 , 89,168 ,122,123 ,145 , 73,234 ,117 , 99,143 ,200,129 , 82, 192,  
448 449 450 451 452 453 454 455 456 457 458 459 460 461 462 463  
170 ,104 ,235 ,136, 81, 93 ,173 ,205 , 94,236, 52 ,105,228 , 46 , 5 , 198,  
464 465 466 467 468 469 470 471 472 473 474 475 476 477 478 479  
254 , 57 ,155 ,97 ,133,142 ,171 ,199, 50 ,187 ,181 ,65, 107,127 ,226 ,147,  
480 481 482 483 484 485 486 487 488 489 490 491 492 493 494 495  
218 ,184, 33,131 , 86 , 77, 44 , 31, 62 , 88 , 18,238 , 43 ,24, 23 , 154,  
496 497 498 499 500 501 502 503 504 505 506 507 508 509 510 511  
159 ,80 ,111,134 ,114, 9 , 91 , 3 ,130, 16 ,10 , 83 ,240 ,195,119 ,253